

ZÁPADOČESKÁ UNIVERZITA V PLZNI
FAKULTA ELEKTROTECHNICKÁ

KATEDRA ELEKTROMECHANIKY A VÝKONOVÉ ELEKTRONIKY

DIPLOMOVÁ PRÁCE

**Návrh bezkartáčového budiče pro dvoupólové
synchronní generátory**

ZÁPADOČESKÁ UNIVERZITA V PLZNI
Fakulta elektrotechnická
Akademický rok: 2012/2013

ZADÁNÍ DIPLOMOVÉ PRÁCE
(PROJEKTU, UMĚLECKÉHO DÍLA, UMĚLECKÉHO VÝKONU)

Jméno a příjmení: **Vít MATRKA**
Osobní číslo: **E11N0071P**
Studijní program: **N2612 Elektrotechnika a informatika**
Studijní obor: **Průmyslová elektronika a elektromechanika**
Název tématu: **Návrh bezkartáčového budiče pro dvoupólové synchronní generátory**
Zadávající katedra: **Katedra elektromechaniky a výkonové elektroniky**

Z á s a d y p r o v y p r a c o v á n í :

1. Parametry budiče: 640 kW; 1200 A; 534 V; 3000 ot./min. pro trvalý provoz 1710 kW; 1960 A; /873 V; 3000 ot./min. pro nárazový provoz po dobu 10 sekund. Zkušební otáčky: 120 % jmenovitých po dobu 2 minut.
2. Elektromagnetický návrh.
3. Konstrukční návrh.
4. Mechanická kontrola u vybraných částí budiče.



Rozsah grafických prací: podle doporučení vedoucího

Rozsah pracovní zprávy: 30 - 40 stran

Forma zpracování diplomové práce: tištěná/elektronická

Seznam odborné literatury:

1. L. Cigánek: Stavba elektrických strojů
2. V. List, J. Hak a kol.: Technický průvodce 12, Elektrotechnika 2

Vedoucí diplomové práce:

Doc. Ing. Josef Červený, CSc.


Katedra elektromechaniky a výkonové elektroniky

Datum zadání diplomové práce: 15. října 2012

Termín odevzdání diplomové práce: 9. května 2013


Doc. Ing. Jiří Hammerbauer, Ph.D.
děkan




Prof. Ing. Václav Kús, CSc.
vedoucí katedry

V Plzni dne 15. října 2012

Anotace

Předkládaná diplomová práce je zaměřena na návrh a konstrukci bezkartáčového budiče pro dvoupólové synchronní generátory.

Klíčová slova

Synchronní stroj s bezkartáčovým budícím systémem, letmo uložený synchronní stroj, diodový usměrňovač, střídavé vinutí, budící vinutí, výpočet a charakteristika naprázdno bezkartáčového budiče, návrh a konstrukce bezkartáčového budiče.

Abstract

Presented diploma thesis is focused on design and construction of the brushless exciter for 2-pole synchronous generators.

Key words

Synchronous machine with brushless excitation system, briefly stored synchronous machine, diode rectifiers, AC winding, field winding, calculation and load characteristics of the brushless exciter, design and construction of brushless exciter.

Prohlášení

Předkládám tímto k posouzení a obhajobě diplomovou práci, zpracovanou na závěr studia na Fakultě elektrotechnické Západočeské univerzity v Plzni.

Prohlašuji, že jsem tuto diplomovou práci vypracoval samostatně, s použitím odborné literatury a pramenů uvedených v seznamu, který je součástí této diplomové práce. Dále prohlašuji, že veškerý software použitý při řešení této diplomové práce je legální.

.....

V Plzni dne 2.5.2013

Vít Matrka

Poděkování

Tímto bych rád poděkoval vedoucímu diplomové práce Doc. Ing. Josefu Červenému, CSc. za cenné profesionální rady, připomínky a metodické vedení práce. Dále děkuji firmě Brush-SEM s.r.o. v Plzni za umožnění pracovat na bezkartáčovém budiči na výpočetní technice a v neposlední řadě velké díky patří mému konzultantovi Ing. Cyrilu Polívkovi za obětovaný čas při konzultacích ohledně návrhu a konstrukce a modelování stroje.

Obsah

OBSAH	8
ÚVOD	9
SEZNAM ZKRATEK A SYMBOLŮ	11
1 NÁVRH BEZKARTÁČOVÉHO BUDIČE	19
1.1 NÁVRH USMĚRŇOVAČE	19
1.2 VÝPOČET HLAVNÍCH ROZMĚRŮ STROJE	21
1.3 NÁVRH VINUTÍ	23
1.3.1 Volba základních parametrů vinutí a jeho výpočet	23
1.3.2 výpočet kroků vinutí, činitelů vinutí a efektivní a celková délka budiče	24
1.3.3 Návrh drážky stroje, izolačního systému v drážce a návrh vodičů kotvy	28
1.3.4 Výpočet odporu vinutí jedné fáze, rozptylové reaktance	30
1.4 NÁVRH MAGNETICKÉHO OBVODU STROJE	33
1.4.1 Výpočet magnetického toku, vzduchové mezery, magnetické napětí reakce kotvy	33
1.4.2 Dimenzování rozměrů magnetického obvodu	34
1.5 VÝPOČET MAGNETIZAČNÍ CHARAKTERISTIKY STROJE	35
1.5.1 Charakteristika naprázdno	36
1.6 NÁVRH BUDÍČHO VINUTÍ	36
1.7 ZTRÁTY A ÚČINNOST BUDIČE	38
2 MECHANICKÁ KONTROLA U VYBRANÝCH ČÁSTÍ BUDIČE	41
2.1 VÝPOČET NAMÁHÁNÍ DRÁŽKOVÝCH KLÍNŮ	41
2.2 VÝPOČET BANDÁŽÍ ČEL VINUTÍ A KONTROLA PROSTORU PRO BANDÁŽ	44
2.3 VÝPOČET NAMÁHÁNÍ ZUBU ROTORU ODSTŘEDIVOU SILOU	48
2.4 VÝPOČET HŘÍDELE BEZKARTÁČOVÉHO BUDIČE	49
3 ZÁVĚR	51
POUŽITÁ LITERATURA	52
PŘÍLOHY	1

Úvod

Návrh a konstrukci bezkartáčového budiče jsem si vybral hlavně proto, že tato problematika doposud nebyla studenty zpracována v takovém množství, jako například synchronní generátory vyšších výkonů, nebo například stejnosměrné či asynchronní motory nebo generátory.

Právě proto jsem si vyjednal spolupráci s firmou Brush-SEM s.r.o. na konkrétním návrhu bezkartáčového budiče – letmo uloženého. Pro zjednodušení a zlevnění výroby prototypového budiče jsem po domluvě s výpočtáři a konstruktéry mechanické konstrukce z výše uvedené firmy zvolil vycházet z již sériově vyráběného bezkartáčového budiče. Prakticky jde o návrh budiče vyššího výkonu pro použití na výkonnějších vzduchem chlazených generátorech.

V diplomové práci jsem se zaměřil na elektromagnetický, konstrukční a mechanický návrh problematiky týkající se letmo uložených bezkartáčových budičů. Návrh spočíval v návrhu trojfázového vinutí zapojeného do hvězdy, výpočtu proudů návrhu průřezů vodičů ve vinutí. Jejich zapojení je shrnuto v Tingleyho schématu uvedeném v příloze [3]. Dále jsem navrhoval izolační systém stroje, zabýval jsem se parametry navrženého vinutí (výpočet odporu jedné fáze, procentní hodnotě odporu a procentní hodnotě reaktance vinutí). Poté jsem určoval magnetické napětí reakce kotvy v podélné a příčné ose. Následovalo dimenzování magnetického obvodu, kde se počítá s magnetickým tokem tekoucím přes různé části stroje, výpočet a volba rozměrů částí stroje a dimenzování velikosti vzduchové mezery. Další bod mé práce jsem věnoval výpočtu charakteristiky naprázdno. Její výpočet byl značně komplikovaný, protože jsem se snažil dosáhnout maximální přesnosti, počítal jsem jednotlivé body charakteristiky soustavou dvou tabulek v tabulkovém procesoru MS Excel. Nakreslil jsem charakteristiku naprázdno a z ní určil magnetické budící napětí stroje pro jeho jmenovité zatížení. Další součástí byl návrh budících cívek synchronního generátoru (jak počet závitů, tak rozměry) a určení jejich orientačního oteplení a dále výpočet jouleových ztrát v budících cívkách. Poté jsem se věnoval celkovému určení ztrát v jednotlivých částech stroje a výpočtu účinnosti bezkartáčového budiče. Jako poslední věc jsem navrhnutý stroj modeloval v počítačovém programu Autocad Inventor 3D. Celé modelování probíhalo ve firmě Brush-SEM, kde mi byla poskytnuta možnost pracovat na 3D modelu. V příloze [15] je uvedeno několik pohledů na stroj namodelovaný již ve zmiňovaném programu. Pro lepší orientaci jsou některé části stroje odlišeny různými barvami. Následovalo několik základních mechanických výpočtů, kde jsem navrhoval a počítal bezpečnost při dimenzování klínů při

působení odstředivých sil způsobených hmotností vinutí kotvy. Dále jsem počítal počet závitů bandáže z bandážové kompozitní pásky Hyperten 2000HP. Mezi další mechanické výpočty provedené v této diplomové práci patří dimenzování zubu působením odstředivé síly způsobené vlastní vahou zubu. Poslední mechanický výpočet se zaměřoval na návrh a výpočet hřídele s osovým vývrtem.

Předkládaná diplomová práce je zaměřena na návrh budiče, jeho konstrukční uspořádání, a výkresovou dokumentaci včetně 3D modelu v 3D softwaru na PC.

Seznam zkratk a symbolů

U_D	Napětí na stejnosměrné straně usměrňovače[V]
U_S	Napětí na střídavé straně usměrňovače[V]
P	Činný výkon stroje[kW]
S	Zdánlivý výkon stroje [kVA]
$\cos \varphi$	Účinník stroje[-]
n	Jmenovité otáčky stroje [ot / min]
m	Počet fází stroje[-]
m'	Matematický počet fází[-]
U_F	Fázové napětí kotvy stroje[V]
I_F	Fázový proud kotvy stroje [A]
D_1	Průměr kotvy rotoru[m]
α	Činitel pólového krytí[-]
p	Počet pólpárových dvojic[-]
t_p	Mezipólová rozteč[m]
Q_1	Počet drážek induktu stroje[-]
q	Počet drážek na pól a fázi[-]
Q	Konečný počet drážek rotoru stroje[-]
Q_p	Počet drážek na pól[-]
Q_f	Počet drážek na fázi[-]
N_S	Počet závitů v sérii jedné fáze[-]
n_d	Celkový počet vodičů v drážce kotvy stroje[-]
a_{\approx}	Počet paralelních větví každé fáze střídavého vinutí[-]
A	Obvodová proudová hustota $\left[\frac{A}{m} \right]$
β	Činitel zkrácení kroku[-]
y_{1d}	Zvolený cívkový krok[-]
y_k	Krok na komutátoru[-]
K	Počet lamel komutátoru[-]

a_{ss}	Konstanta pro sériové vinutí[-]
u	Konstanta rozložení cívkových stran v drážce stroje[-]
y_1	Přední cívkový krok[-]
y_2	Zadní cívkový krok[-]
k_{vv}	Činitel vinutí[-]
C	Essonův činitel elektromagnetického využití stroje $\left[\frac{W}{m^3 \frac{ot}{min}} \right]$
l_e	Efektivní délka stroje[m]
\check{s}_k	Šířka radiálního chladicího kanálu[mm]
\check{s}_p	Šířka paketů plechového svazku rotoru[mm]
i	Počet paketů rotorového svazku[-]
i_k	Počet chladicích kanálů rotoru[-]
L	Celková délka stroje[mm]
t_{d1}	Drážková rozteč na obvodu kotvy[mm]
z_1	Šířka zubu[mm]
b_d	Šířka drážky kotvy stroje[mm]
B_δ	Magnetická indukce ve vzduchové mezeře[T]
B'_{z1}	Magnetická indukce v kořeni zubu[T]
k_{Fe}	Činitel plnění plechového svazku kotvy[-]
S'_{Cus}	Průřez vodiče kotvy[mm^2]
σ'_{Cus}	Vypočtená proudová hustota vodiče kotvy $\left[\frac{A}{mm^2} \right]$
b_v	Šířka vodiče vinutí kotvy[mm]
h_{vod}	Výška vodiče vinutí kotvy[mm]
h_v	Výška vodiče děleného do větví[mm]
r_{1zaob}	Poloměr zaoblení vodiče kotvy[mm]
S^{3v}_{CusMAT}	Matematický průřez vodiče kotvy[mm^2]
S_{Cus}	Skutečný průřez vodiče kotvy[mm^2]

σ_{Cus}	Skutečná proudová hustota vodiče kotvy $\left[\frac{A}{mm^2} \right]$
R'_{1f}	Elektrický odpor jedné fáze vinutí kotvy $[\Omega]$
ξ	náhradní výška vodiče vinutí kotvy $[-]$
k_{Cu}	Činitel zvýšení elektrického odporu vinutí kotvy $[-]$
$R_{1f/20}$	Elektrický odpor vinutí jedné fáze při 20°C $[\Omega]$
u_R	Procentní hodnota úbytku napětí na ohmickém odporu fáze $[\%]$
X_σ	Rozptylová reaktance vinutí kotvy $[\Omega]$
u_σ	Procentní hodnota rozptylové reaktance jedné fáze $[\%]$
Φ	Magnetický tok strojem $[Wb]$
δ	Výška vzduchové mezery $[mm]$
F_A	Magnetické napětí reakce kotvy $[A]$
F_{ad}	Magnetické napětí reakce kotvy v podélném směru $[A]$
F_{aq}	Magnetické napětí reakce kotvy v příčném směru $[A]$
\check{s}_p	Šířka pólu $[mm]$
h_p	Výška pólu $[mm]$
\check{s}_n	Šířka nástavce $[mm]$
h_n	Výška nástavce $[mm]$
h_{js}	Výška jha statoru $[mm]$
B_{js}	Magnetická indukce ve statoru stroje $[T]$
h_{jr}	Výška jha rotoru $[mm]$
B_{jr}	Magnetická indukce v rotoru stroje $[T]$
l_p	Délka jha pólu $[mm]$
l_s	Délka jha statoru $[mm]$
l_r	Délka jha rotoru $[mm]$
k_{ck}	Carterův činitel $[-]$
F_δ	Magnetické napětí na vzduchové mezeře $[A]$
F_b	Magnetické napětí budícího vinutí $[A]$
a	Prostor pod pólovým nástavcem na budící cívku $[m]$

l_{bs}	Střední délka závitů budícího vinutí [m]
S'_{Cub}	Průřez budícího vinutí [mm^2]
h_v	Šířka neizolovaného vodiče budícího vinutí [mm]
b_v	Výška neizolovaného vodiče budícího vinutí [mm]
h_{vi}	Šířka izolovaného vodiče budícího vinutí [mm]
b_{vi}	Výška izolovaného vodiče budícího vinutí [mm]
S_{Cub}	Průřez budícího vinutí [mm^2]
σ_{Cub}	Proudová hustota v budícím vinutí $\left[\frac{A}{mm^2} \right]$
N_b	Počet závitů budící cívký [-]
I_b	Budící proud [A]
n'_p	Počet poloh vodičů budící cívký vedle sebe [-]
n_p	Počet poloh vodičů budící cívký vedle sebe [-]
b_c	Tloušťka cívký [mm]
N'_{p1}	Počet závitů v jedné poloze vodiče budící cívký [-]
h_c	Výška budící cívký [mm]
h_p	Výška cívký včetně kostřičky [mm]
l_{be}	Vnější obvod budící cívký [m]
O_{2pc}	Ochlazovací plocha všech budících cívek [m ²]
$R_{b/100}$	Stejnoseměrný odpor budících cívek [Ω]
ΔP_{Cub}	Jouleovy ztráty v budícím vinutí [W]
$\Delta \vartheta_{Cub}$	Oteplení budících cívek [$^{\circ}C$]
ΔP_{Cu1}	Jouleovy ztráty ve vinutí kotvy [W]
ΔP_{Dioda}	Jouleovy ztráty na diodě [W]
$\Delta P_{Usč}$	Celkové ztráty na usměřňovači [W]
m_{Fer}	hmotnost rotorových plechů [kg]
ΔP_{Fer}	Ztráty v jádře rotoru stroje [W]
m_{Fez}	Hmotnost zubů rotoru stroje [kg]
ΔP_{Fez}	Ztráty v zubech stroje [W]

ΔP_p	Povrchové ztráty [W]
$\Delta P_{Pr id}$	Přídavné ztráty ve stroji [W]
ΔP	Celkové ztráty vzniklé ve stroje [W]
η	Celková účinnost stroje [%]
n_{MAX}	Zkušební otáčky stroje [ot / min]
ρ_{IZ}	Hustota izolace $\left[\frac{kg}{m^3} \right]$
ρ_V	Hustota vodiče kotvy $\left[\frac{kg}{m^3} \right]$
S_{DR}	Plocha drážky pod klínem [mm ²]
S_{KL}	Plocha rotorového klínu [mm ²]
m_{VDR}	Hmotnost vinutí v drážce stroje [kg]
m_{IZDR}	Hmotnost izolace v drážce stroje [kg]
m_{KL}	Hmotnost rotorového klínu [kg]
V_{VDR}	Objem vodiče v drážkové části [m ³]
V_{IZDR}	Objem izolace v drážkové části [m ³]
V_{KL}	Objem rotorového klínu v drážkové části [m ³]
m_{VDR1cm}	Hmotnost vodiče v drážkové části vztažená na jednotku délky $\left[\frac{kg}{cm} \right]$
$m_{IZDR1cm}$	Hmotnost izolace v drážkové části vztažená na jednotku délky $\left[\frac{kg}{cm} \right]$
m_{KL1cm}	Hmotnost rotorového klínu vztažená na jednotku délky $\left[\frac{kg}{cm} \right]$
F_O	Odstředivá síla [N]
m	Hmotnost [kg]
r	Poloměr [m]
ω	Úhlová rychlost [rad / s]
r_K	Těžiště působení odstředivé síly vyvolané klínem [m]
r_V	Těžiště působení odstředivé síly vyvolané hmotností v drážce [m]
a_{KL}	Šířka základny klínu [mm]
p_{KL}	Šířka vrchní strany klínu [mm]

v_{KL}	Výška klínu [mm]
F_{OKL}	Odstředivá síla vyvolaná hmotností klínu [N]
F_{OV}	Odstředivá síla vyvolaná hmotností vinutí a izolace [N]
A_Y	Reakce vyvolaná odstředivou silou působící ve svislé ose [N]
A_X	Reakce vyvolaná odstředivou silou ve vodorovné ose [N]
T	Síla deformující klín [N]
α_K	Úhel zešikmení klínu [°]
σ_D	Namáhání klínu otlakem [MPa]
σ_O	Namáhání klínu ohybem [MPa]
σ_{DC}	Celkové namáhání klínu tlakem [MPa]
σ_{TC}	Celkové namáhání klínu tahem [MPa]
σ_{PD}	Maximální namáhání klínu tahem [MPa]
M_O	Ohybový moment [Nm]
W_O	Modul průřezu v ohybu [m ³]
τ_S	Střihové namáhání [MPa]
τ_{MAX}	Maximální střihové namáhání [MPa]
k_{KL}	Bezpečnost při dimenzování klínů [-]
$m_{ZČ1C}$	Hmotnost jedné cívky zadního čela [kg]
$m_{PČ1C}$	Hmotnost jedné cívky předního čela [kg]
$m_{ZČ}$	Hmotnost vinutí zadního čela [kg]
$m_{PČ}$	Hmotnost vinutí předního čela [kg]
$V_{ZČ}$	Objem cívky zadního čela [m ³]
$V_{PČ}$	Objem cívky předního čela [m ³]
$l_{ZČ}$	Délka cívky zadního čela [m]
$l_{PČ}$	Délka cívky předního čela [m]
l_{b1}	Délka bandáže zadního čela vinutí [m]
l_{b2}	Délka bandáže předního čela vinutí [m]
d_{b1}, d_{b2}	Vnější průměr bandáží [m]
d_{b01}	Vnitřní průměr zadní bandáže [m]

d_{b02}	Vnitřní průměr přední bandáže [m]
V_{b1}	Objem prostoru zadního čela [m ³]
V_{b2}	Objem prostoru předního čela [m ³]
V_{iz1}, V_{iz2}	Objemy zadní a přední izolace čelního prostoru [m ³]
m_{iz1}, m_{iz2}	Hmotnosti zadní a přední izolace čel [kg]
m_{PC}, m_{ZC}	Celkové hmotnosti vinutí předního a zadního čela včetně izolace [kg]
$F_{OZČ}, F_{OPČ}$	Odstředivé síly vyvolané zadním a předním čelem [N]
$T_{ZČ}, T_{PČ}$	Tangenciální obvodová síla [N]
T_B	Velikost síly při přetržení pásky (stav B) [N]
T_C	Velikost síly při přetržení pásky (stav C) [N]
T_N	Navíjecí předpětí [N]
\check{s}_p	Šířka izolační pásky [mm]
t_p	Tloušťka izolační pásky [mm]
z	Počet závitů bandážové pásky [-]
d_{PVIN}	Vnější průměr na povrchu čel vinutí [mm]
h_{BAN}	Prostor pro bandáž [mm]
$Z_{ZČ}$	Počet závitů bandáže vedle sebe zadního čela [-]
$Z_{PČ}$	Počet závitů bandáže vedle sebe předního čela [-]
$\check{R}_{ZČ}$	Počet řad na výšku bandáže zadního čela [-]
$\check{R}_{PČ}$	Počet řad na výšku bandáže předního čela [-]
$h_{ZČ}, h_{PČ}$	Výška bandáže zadního a předního čela [mm]
S_{ZUB}	Plocha zubu rotoru [mm ²]
m_{ZUB}	Hmotnost zubu délky 1cm [kg]
F_{OZUB}	Odstředivá síla vyvolaná hmotností zubu [N]
F_{OC}	Odstředivá síla vyvolaná od hmotnosti vinutí, klínu, váhou zubu [N]
$\sigma_{KOŘ}$	Tahové namáhání odstředivou silou na ploše u kořene zubu [MPa]
σ_r	Dovolené tahové namáhání plechů rotoru [MPa]
k	Bezpečnost dimenzování zubu rotoru [-]
d_h	Základní průměr hřídele stroje [mm]

k_h	Součinitel u výpočtu průměru hřídele stroje
w_K	Modul průřezu v krutu pro mezikružší [mm^3]
D	Vnější průměr hřídele stroje [mm]
d	Vnitřní průměr vrtání hřídele [mm]
M_{MAX}	Moment na hřídeli stroje při nárazovém provozu [Nm]
P_{MAX}	Výkon při nárazovém provozu [kW]
τ_K	Namáhání hřídele v krutu [MPa]

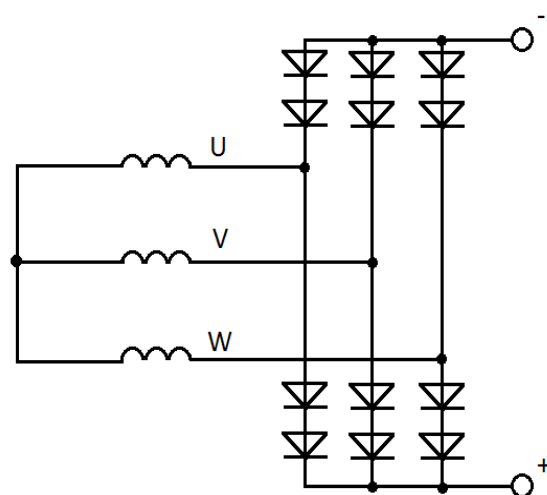
1 Návrh bezkartáčového budiče

1.1 Návrh usměrňovače

Usměrňovač je hlavní a téměř nejdůležitější součást bezkartáčového budiče. Usměrňovač je trojfázový, 6-pulzní. S ohledem na fakt, že při poruše výkonové usměrňovací diody dojde z 99 % k trvalému tvrdému zkratu (propojení anody a katody) na diodě, se kvůli zvýšení bezpečnosti a spolehlivosti používá právě dvou sériově řazených diod. Sériově zařazené diody se sice navenek mohou jevit jako zbytečné zvýšení provozních (Jouleových) ztrát na usměrňovači, které zdaleka nejsou zanedbatelné, ale protože jde v první řadě o snahu maximální spolehlivosti, použijí se právě sériově zařazené diody.

Usměrňovač je tedy rotující, na diody a chladiče sloužící k odvodu ztrát na diodách působí značné odstředivé síly, proto je třeba věnovat zvýšenou pozornost právě chladičům, které jsou určeny k odvodu ztrátového tepla na diodách.

Trojfázový neřízený usměrňovač je složen celkem z 12 diod, schéma zapojení je vidět níže.



Obrázek 1: Schéma zapojení usměrňovače budiče

V příloze [1] je vidět pohled na konstrukční uspořádání rotujícího usměrňovače včetně

chladičů a propojení na budící přívody do turbogenerátoru dutým hřídelem.

Základní dimenzování diod se odvíjí od maximálního závěrného napětí diod a taktěž proudu procházející diodou ve vodivém stavu. Vzhledem k tomu, že u předchozího bezkartáčového budiče je vinutí s nižší hodnotou budícího napětí a současně stejný budící proud, tak jsem zvolil shodné diody od firmy ABB: 5SDA 16F3806 se jmenovitými hodnotami: závěrné napětí $V_{RRM}=3800V$, propustný proud $I_{FAM}=1620A$. Další hodnoty lze vyčíst v katalogovém listu diody v příloze [2].

Ze zadání diplomové práce mám požadavek na budící napětí 534V a budící proud 1200A při trvalém provozu a pro nárazový provoz napětí 873V a 1960A působící po dobu 10s.

Nyní se budu věnovat návrhu napětí, které musí být na střídavé straně usměřovače.

Přepočet mezi sdruženou hodnotou napětí na střídavé a střední hodnotou na straně stejnosměrného napětí pro stav naprázdno:

$$U_d = \frac{\sqrt{2.3}}{\pi} U_s \text{ a proto: } U_s = \frac{\pi \cdot U_d}{\sqrt{2.3}} = \frac{\pi \cdot 534}{\sqrt{2.3}} = 395,4V \quad (1.1)$$

Kde: U_d je hodnota napětí na stejnosměrné straně usměřovače

U_s je hodnota sdruženého napětí usměřovače

Co se týče proudového dimenzování usměřovacích diod tak je třeba brát ohled na to,

že diody v tomto zapojení vedou pouze po dobu $t = \frac{2 \cdot \pi}{3}$, takže skutečný efektivní

proud diodami jedné fáze je třetinový. Po dobu nárazového buzení, které je stanoveno na 10s s napětím 873V a budícím proudem 1960A, je třeba dimenzovat chlazení usměřovače tak, aby bylo schopné vzniklé teplo akumulovat do objemu vlastního chladiče, který odvádí teplo ze dvou diod. Veškerý tepelný výpočet chlazení je na tolik komplikovaný, že ani nejmodernější způsoby 3D modelování nejsou schopny přesně určit teploty diod při jmenovitém a nárazovém provozu. Tak se chladiče postupně dimenzovaly metodou zkusmo- soubory zkoušek, kdy se zkoušely různé profily chladičů, různé velikosti žeber a chladících děr, a přitom se měřily teploty na diodách. Při některých zkouškách se chladiče deformovaly, při některých byl chladicí účinek dobrý, ale chladič nebyl schopný po dobu zkušební nárazového buzení ztrátové teplo

akumulovat.

1.2 Výpočet hlavních rozměrů stroje

Při určování hlavních rozměrů stroje vycházím ze zadaných hodnot. Vzhledem k tomu, že je potřeba, aby budící proud generátoru byl co nejméně zvlněný, je třeba zvýšit frekvenci na budiči na trojnásobek frekvence jmenovité, takže se pro jmenovité otáčky zvolí frekvence 150Hz. Protože budící vinutí turbogenerátoru má konečnou indukčnost, tak pro zvlněný proud z usměrňovače se chová jako „vyhlazovací tlumivka proudu“.

Počet pólů volím tedy 6, z čehož plyne počet pólových dvojic $p = 3$.

Účinník podobných již vyrobených bezkartáčových budičů se pohybuje přibližně $\cos\varphi = 0,97$ [-] a proto jej také v dalším výpočtu budu uvažovat stejný.

Nyní shrnu hodnoty, ze kterých bude dále prováděn výpočet budiče.

$$P = 640kW$$

$$\cos\varphi = 0,97$$

$$n = 3000ot / min$$

$$m = 3$$

$$U_s = 396,2V$$

Zdánlivý výkon lze vypočítat:

$$S = \frac{P}{\cos\varphi} = \frac{640}{0,97} = 659,8kVA \quad (1.2)$$

Pro další výpočet uvažuji zdánlivý výkon 660kVA.

Výpočet fázového napětí na střídavé straně je proveden níže.

$$U_F = \frac{U_s}{\sqrt{3}} = \frac{415,95}{\sqrt{3}} = 240,15V \quad (1.3)$$

Fázový proud jednoduše vypočítám dosazením hodnot do následující rovnice (1.4).

$$I_F = \frac{S}{U_s\sqrt{3}} = \frac{660000}{415,95\sqrt{3}} = 916,1A \quad (1.4)$$

Nyní již vypočtu průměr induktu. [2.]

$$D_1 = 0,08 \cdot (2p)^{0,625} S^{0,185} = 0,08 \cdot (2 \cdot 3)^{0,625} \cdot 660000^{0,185} = 0,815m \quad (1.5)$$

Volím průměr 0,62m. Právě proto, aby byla výroba prototypu pokud možno co nejlevnější a také aby bylo možné použít většinu přípravků, používaných při výrobě budičů s menším výkonem vyráběnými sériovou výrobou.

Dále kontroluji zvolený průměr stroje [1.] (strana 335 obr. 7.8 b), pro zdánlivý výkon 660kVA je odečtený průměr cca 0,6m, můj zvolený průměr se tedy přibližuje odečtené hodnotě z grafu pro zdánlivý výkon navrhovaného stroje.

Následně volím obvodovou proudovou hustotu na 30000A/m a indukci ve vzduchové mezeře volím 0,55T. Tato hodnota se zdá být velmi malá a též to ukazuje, že stroj je poměrně špatně magneticky využit. To je ale zvoleno záměrně proto, aby při regulaci výkonu turbogenerátoru se pohyboval budič v lineární části charakteristiky a tudíž výkon turbogenerátoru lze měnit téměř lineárně spolu s budícím napětím na budících cívkách bezkartáčového budiče.

Činitel pólového krytí volím nejvyšší možný a to $\alpha = 0,7$. Je zvolen proto, že stroj je střídavý, ale s komutací za pomocí diod, takže není nutné mít pomocné póly s vinutím tak jako je to u stejnosměrných strojů.

Mezipólová rozteč poté vychází:

$$t_p = \frac{\pi \cdot D_1}{2 \cdot p} = \frac{\pi \cdot 0,62}{2 \cdot 3} = 0,325m \quad (1.6)$$

Abych mohl určit efektivní a skutečnou délku stroje, musím nejprve vypočítat činitel vinutí 1. harmonické, proto se nyní budu věnovat návrhu a dimenzování vinutí.

1.3 Návrh vinutí

1.3.1 Volba základních parametrů vinutí a jeho výpočet

Nyní jsem zvolil mezidrážkovou rozteč 26mm a výpočet celkového počtu drážek na induktu stroje je:

$$Q_1 = \frac{\pi \cdot D_1}{t_{d1}} = \frac{\pi \cdot 0,62}{0,026} = 74,91 \quad (1.7)$$

Jenže počet drážek musí být dělitelný počtem fází a počtem paralelních větví. Volím pouze jednu paralelní větev. Z toho plyne, že stroj může mít 60, 63, 66, 69, 72, 75, 78 nebo 81 drážek.

$$q = \frac{Q_1}{2pm} = \frac{74,91}{2 \cdot 3 \cdot 3} = 4,162 \quad (1.8)$$

Pro další výpočty zvolím q jako celé číslo $q = 4$.

Z toho plyne počet drážek stroje:

$$Q = 2 \cdot p \cdot q \cdot m = 2 \cdot 3 \cdot 4 \cdot 3 = 72 \quad (1.9)$$

Dále pak počet drážek na fázi musí být celé číslo.

$$Q_f = \frac{Q}{m} = \frac{2 \cdot p \cdot m \cdot q}{m} = 2 \cdot p \cdot q = 2 \cdot 3 \cdot 4 = 24 \quad (1.10)$$

Nyní stanovím počet závitů vinutí jedné fáze v sérii.

$$N_s = \frac{\pi \cdot D_1 \cdot A}{2 \cdot m \cdot I_f} = \frac{\pi \cdot 0,62 \cdot 30000}{2 \cdot 3 \cdot 916,1} = 10,63 \quad (1.11)$$

Je třeba stanovit celkový počet vodičů v drážce kotvy stroje.

$$n_d = \frac{a_{\approx} \cdot N_s}{p \cdot q} = \frac{1 \cdot 10,63}{3 \cdot 4} = 0,883 \quad (1.12)$$

V tomto případě je a_{\approx} počet paralelních větví každé fáze střídavého vinutí.

Jelikož však nemůže být počet vodičů v drážce desetinné číslo, musím počet závitů zaokrouhlit na nejbližší přijatelné celé číslo. V mém případě volím počet paralelních větví $a_{\approx} = 2$, proto vychází i jiný počet vodičů v drážce stroje, dále se změní i počet závitů v sérii. Počet vodičů v drážce stroje volím $n_d = 2$. Přepočtení počtu závitů v sérii se provede poté dosazením hodnot do vztahu:

$$N_s = \frac{n_d \cdot q \cdot p}{a_{\approx}} = \frac{2 \cdot 4 \cdot 3}{2} = 12 \quad (1.13)$$

Pro výsledný počet závitů v sérii jedné fáze vypočtu hodnotu skutečné obvodové proudové hustoty .

$$A = \frac{2 \cdot m \cdot I_f}{\pi \cdot D_1} \cdot N_s = \frac{2 \cdot 3 \cdot 916,1}{\pi \cdot 0,62} \cdot 12 = 33864 \left[\frac{A}{m} \right] \quad (1.14)$$

1.3.2 výpočet kroků vinutí, činitelů vinutí a efektivní a celková délka budiče

Shrňme základní již známé parametry o vinutí:

Počet drážek:	$Q = 72$
Počet pólů:	$2p = 6$
Počet fází:	$m = 3$
Matematický počet fází:	$m' = 6$
Počet drážek na pól a fázi:	$q = 4$

Počet drážek na pól lze určit:

$$Q_p = \frac{Q}{2p} = \frac{72}{6} = 12 \quad (1.15)$$

Protože se jedná o střídavé vinutí, jde nám o to, aby se pokud možno činitel zkrácení kroku (1.16) pohyboval okolo 0,833. Vhodné zkrácení kroku má za následek potlačení vyšších harmonických.

$$\beta = \frac{y_{1d}}{Q_p} \quad (1.16)$$

Proto volím $y_{1d} = 10$

Zkontroluji poměrné zkrácení kroku dosazením volené hodnoty y_{1d} a známé hodnoty Q_p

$$\beta = \frac{y_{1d}}{Q_p} = \frac{10}{12} = 0,8333$$

Nyní budu počítat s teoretickým krokem na komutátoru, který se ve skutečnosti ve střídavém vinutí nenachází. Potřebuji ho pouze k výpočtu předního a zadního cívkového kroku vinutí. Krok na komutátoru počítám ze vztahu:

$$y_k = \frac{\varepsilon K \pm a_{ss}}{p} = \frac{1,72 - 1}{3} = 23,66 \quad (1.17)$$

Kde K je počet lamel komutátoru (u střídavého vinutí je $K = u \cdot Q$), kde u je počet cívkových stran v drážce.

A $a_{ss} = 1$ pokud jde o sériové vinutí.

Kroky vinutí:

Přední cívkový krok:

$$y_1 = 2 \cdot u \cdot y_{1d} = 2 \cdot 1 \cdot 10 + 1 = 21 \quad (1.18)$$

Zadní cívkový krok:

$$y_2 = 2 \cdot y_k - y_1 = 2 \cdot 23,66 - 21 = 26,33 \quad (1.19)$$

Zadní cívkový krok musí být liché číslo, abych se dostal ze zadní cívkové strany do přední. Je tedy třeba zadní cívkový krok upravit na nejbližší liché číslo, konkrétně 27.

Pro střídavé vinutí platí:

Počet skupin vinutí dopočítám následovně:

$$a_{ss} \cdot m' = 1,6 = 6 \quad (1.20)$$

Počet skupin vinutí v jedné fázi je:

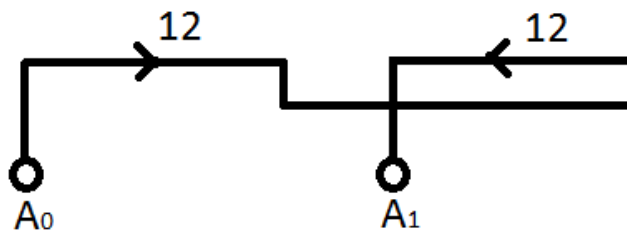
$$\frac{a_{ss} m'}{m} = \frac{1,6}{3} = 2 \quad (1.21)$$

Počet cívek ve skupině lze napsat dosazením do rovnice:

$$\frac{Q}{a_{ss}m'} = \frac{72}{1.6} = 12 \quad (1.22)$$

V příloze [3] je uvedeno Tingleyho schéma, které znázorňuje zapojení vinutí stroje v tabulce. Jednoduše lze z přílohy [3] vyčíst přední a zadní cívkový krok vinutí, počet cívkových stran v drážce, popřípadě spočítat činitele vinutí. Tingleyho schéma se vytvoří tabulkou, kde počet sloupců je počet fází vynásobený čitatelem ze zlomku čísla q , počet řádků je počet pólů a fázor sousední drážky je o jmenovatel čísla q dál.

Úsečkové schéma na následujícím obrázku 2 znázorňuje skutečné propojení skupin cívek jedné fáze, která tvoří vinutí stroje.



Obrázek 2: Úsečkové schéma zapojení vinutí jedné fáze stroje

Výpočet činitelů vinutí:

Pro výpočet činitele vinutí pro libovolnou harmonickou obecně platí.

$$\begin{aligned} kvv &= \sin\left(v\beta\frac{\pi}{2}\right) \frac{\sin\left(v\frac{\pi}{m'}\right)}{n \cdot \sin\left(v\frac{\pi}{m'n}\right)} = \\ &= \sin\left(1.0,833\frac{\pi}{2}\right) \frac{\sin\left(1\frac{\pi}{6}\right)}{4 \cdot \sin\left(v\frac{\pi}{6.4}\right)} = 0,925 \end{aligned} \quad (1.23)$$

Dosažením hodnot za řád harmonické $v = 1;5;7;11;13$ zjistím hodnoty činitelů vinutí příslušných harmonických.

$$k_{v1} = 0,9250$$

$$k_{v5} = 0,0531$$

$$k_{v7} = -0,041$$

$$k_{v11} = -0,122$$

$$k_{v13} = -0,122$$

Nyní se můžu věnovat návrhu efektivní délky stroje. K tomu musím znát ještě skutečnou hodnotu Essonova činitele elektromagnetického využití stroje.

$$C = \frac{\pi^2}{60\sqrt{2}} AB_{\delta} k_{v1} = \frac{\pi^2}{60\sqrt{2}} \cdot 33,863 \cdot 0,55 \cdot 0,925 = 2,003 \frac{W}{m^3 \frac{ot}{min}} \quad (1.24)$$

Přičemž obvodová proudová hustota je zadána v [kA/m].

Pro určení efektivní délky stroje musím pouze dosadit do následujícího vztahu, který vychází z úpravy výkonové rovnice.

$$l_e = \frac{S}{CD_1^2 n} = \frac{660000}{2,003 \cdot 0,62^2 \cdot 3000} = 286mm \quad (1.25)$$

Každý stroj je nutné chladit, proto jsem zjistil, že vyráběný budič nižší řady je chlazen radiálními kanály s šířkou kanálu $\check{s}_k = 8mm$. Použiji je také v návrhu, aby se výroba prototypu co nejvíce zlevnila. Volím tedy šířku paketů $\check{s}_p = 35,5mm$. Celkový počet paketů lze vypočítat dosažením do vztahu (1.26) a následně určit počet chladících kanálů a dopočítat celkovou délku stroje.

$$i = \frac{l_e}{\check{s}_p} = \frac{0,286}{0,0355} = 8 \quad (1.26)$$

$$i_k = i - 1 = 8 - 1 = 7 \quad (1.27)$$

$$L = l_e + \check{s}_k i_k = 286 + 8 \cdot 7 = 342mm \quad (1.28)$$

1.3.3 Návrh drážky stroje, izolačního systému v drážce a návrh vodičů kotvy

Drážka stroje určuje místo, ve kterém jsou umístěny vodiče vinutí stroje. Protože je kotva bezkartáčového budiče umístěna na rotoru, je nutné použít drážky otevřené typu N, kde příznivěji vychází dimenzování klínu na rotoru budiče z důvodu větší styčné plochy klínu. Kdybych zvolil drážku typu M tak by vyšel klín širší, mělo by to za následek ještě výraznější zápich do zubu rotoru. Drážku tedy volím obdélníkovou. Zuby musí mít lichoběžníkový tvar. Již výše jsem dimenzoval vinutí, počty závitů, kroky a další parametry vinutí a z vypočítaných hodnot vychází do drážky stroje dvě cívkové strany sériového vinutí. Šířka samotného zubu se určí ze zvolené indukce v hlavě zubu (po obvodu stroje D_1).

Drážková rozteč na obvodu kotvy:

$$t_{d1} = \frac{\pi D_1}{Q} = \frac{\pi \cdot 0,62}{72} = 0,027 \text{ m} = 27 \text{ mm} \quad (1.29)$$

Šířka zubu:

$$z_1 = \frac{B'_\delta t_{d1}}{B'_{z1} k_{fe}} = \frac{0,55 \cdot 27}{1,25 \cdot 0,95} = 12,9 \text{ mm} \quad (1.30)$$

Kde B'_{z1} odpovídá zvolené indukci na hlavě zubu (na průměru D_1)

k_{Fe} je činitel plnění železa kotvy

Potom můžu dopočítat šířku drážky rotoru:

$$b_d = t_{d1} - z_1 = 27 - 12,9 = 14,1 \text{ mm} \quad (1.31)$$

Jelikož dnes není problém vyrobit téměř jakýkoliv tvar z elektrotechnického plechu, volím šířku drážky 14,4 mm a tomu odpovídá skutečná hodnota šířky zubu:

$$z_1 = t_{d1} - b_d = 27 - 14,4 = 12,6 \text{ mm} \quad (1.32)$$

Návrh izolačního systému:

Jedná se o stroj se jmenovitým napětím 534V, maximálním napětím 873V v režimu nárazového provozu, je třeba navrhnout izolační systém na napětí vyšší z důvodu dostatečné bezpečnosti. Z toho vyplývá i tloušťka izolace proti železu $t_i = 0,45\text{mm}$. Vzhledem ke zvolené šířce drážky jsem zvolil šířku vodiče $b_v = 12\text{mm}$ a dále s ní budu počítat.

Průřez vodiče spočítám z proudové hustoty a procházejícího proudu.

$$S'_{Cus} = \frac{I_F}{a_{\approx} \sigma_{Cus}} = \frac{916,1}{2,4,18} = 109,58\text{mm}^2 \quad (1.33)$$

Příčměž proudová hustota je dána například takto:

$$\sigma'_{Cus} = \sqrt{\frac{K}{b_v}} = \sqrt{\frac{210}{12}} = 4,18 \frac{\text{A}}{\text{mm}^2} \quad (1.34)$$

Kde K je konstanta závislá na napětí stroje a b_v je šířka holého vodiče kotvy. Pro napětí 0,4-3kV odpovídá konstanta $K = 210$.

Pokud znám rozměr šířky vodiče, mohu dimenzovat výšku vodiče tak, aby byla zachována nebo snižená proudová hustota ve vodiči kotvy. Výšku vodiče lze tedy navrhnout:

$$h_v = \frac{S'_{Cus}}{b_v} = \frac{109,58}{12} = 9,13\text{mm} \quad (1.35)$$

Pro snížení ztrát vlivem skin-efektu je nutné vodič rozdělit. Rozdělení jsem provedl na výšku za použití 3 stejných paralelních vodičů o výšce 3,2mm. Matematický průřez vodiče kotvy spočtu jako trojnásobek výšky a šířky jednotlivého vodiče.

$$S_{CusMAT}^{3v} = 3h_v b_v = 3 \cdot 3,2 \cdot 12 = 115,2\text{mm}^2 \quad (1.36)$$

Ve skutečnosti jsou ale vodiče vyráběny se zaoblením hran. Poloměr zaoblení je dle normy pro daný rozměr vodiče $r_{1zaob} = 1\text{mm}$, ve skutečnosti to znamená, že průřez je zmenšen o plochu zaoblení.

$$S_{Cus} = S_{CusMAT}^{3v} - \left[(2r_{1zaob})^2 - \pi r_{1zaob}^2 \right] = 115,2 \left[(2 \cdot 1)^2 - \pi \cdot 1^2 \right] = 114,3\text{mm}^2 \quad (1.37)$$

Následně jen orientačně zkontroluji proudovou hustotu skutečným průřezem.

$$\sigma_{Cus} = \frac{I_f}{a_{\approx} S_{Cus}} = \frac{916,1}{2.114,3} = 4 \frac{A}{mm^2} \quad (1.38)$$

Izolační systém stroje je shrnutý v tabulce 1.

Tabulka 1: Izolační systém bezkartáčového budiče

Pozice	Název	Šířka[mm]			Hloubka[mm]		
1	Vyložení drážky	2.0,15		0,3	3.0,15		0,45
2	Izolace proti železu	2.ti	2.0,45	0,9	4.ti	4.0,45	1,8
3	Izolace závitů	2.0,37		0,74			0,37
4	Izolace vodičů	0,27		0,27			0,41
5	Mezivrstva						2
6	Σ Izolace			2,21			5,03
7	Vůle na šířku			0,19			
8	Holý vodič			12			19,2
9	Vložka na dno						1
10	Vložka pod klín						1
11	Vůle na hloubku						0,77
12	Rozměr drážky bez klínu			14,4			27
13	Klín a můstek				H0+h1	6+1	7
14	Celkový rozměr drážky			14,4			34

1.3.4 Výpočet odporu vinutí jedné fáze, rozptylové reaktance

Pro určení elektrického odporu jedné fáze je potřeba znát celkovou délku vodičů tvořící jednu cívku vlnového vinutí. Musím určit délky předního a zadního čela, délku vodiče v rovné (drážkové) části induktu, dále odpory spojek cívek (náhrada oka), které spojují horní a spodní pozici vodičů v drážce, dále potřebuji vypočítat odpor nulového prstence (uzel vinutí do hvězdy), odpory vedoucí od konce vinutí (vývodů) k jednotlivým usměrňovacím diodám, odpory propojek mezi jednotlivými součástmi rotujícího usměrňovače a přechodové odpory na šroubovaných spojích mezi chladiči usměrňovačů a propojkami.

Pro výpočty jednotlivých délek částí cívek jsem použil program, který navrhuje vinutí a výsledkem jsou rozvinuté tvary vodičů cívek ve 2D, bohužel pro ochranu jména firmy a

zákazem týkající se hospodářské soutěže a konkurence nemohu název programu zde uvést. Beru výsledky z programu jako výchozí pro určování odporů fáze.

Výsledné výpočty převzaté z programu:

Délka předního čela: 624mm

Délka zadního čela: 534mm

Délka vodiče v aktivní části budiče: 2 x 356mm

Spojka čel: 24mm

Výběh rovné části přes rotorový paket: 10mm

Spojka k usměrňovači: 32mm

Délka středu vinutí (nulový kruh): 500mm

Pro zjednodušení výpočtu budu uvažovat ve všech částech vinutí bezkartáčového budiče stejný průřez vodičů vinutí, propojek a spojek.

Elektrický odpor jedné fáze vinutí kotvy:

$$R'_{1f} = \frac{N_1 l_{z1} \rho_{Cu}}{a_{\pm} S_{Cus}} = \frac{12 \cdot 1730 \cdot 1}{2 \cdot 114,3 \cdot 56} = 0,0016 \Omega \quad (1.39)$$

Nyní je potřeba uvažovat vliv skin-efektu, protože frekvence je 150Hz, vliv nemůžu zanedbat. Náhradní výška vodiče vypočítám:

$$\xi = 2\pi h_v \sqrt{\frac{j b_v f}{b_d \rho}} \cdot 10^{-7} = 2\pi \cdot 3,2 \sqrt{\frac{1 \cdot 12 \cdot 150}{14,4 \cdot \frac{1}{56}} \cdot 10^{-7}} = 0,54 \quad (1.40)$$

Činitel zvýšení elektrického odporu:

$$k_{Cu} = \frac{g^2 - 0,2}{9} \xi^4 = \frac{6^2 - 0,2}{9} \cdot 0,54^4 = 0,08 \quad (1.41)$$

Odpor jedné fáze při 20 °C při střídavém proudu vodičů kotvy se spočítá následovně:

$$R_{1f/20} = (1 + k_{Cu}) \cdot R'_{1f} = (1 + 0,08) \cdot 0,0016 = 0,0017 \Omega \quad (1.42)$$

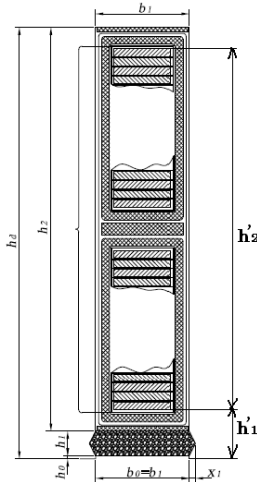
Dále zjistím hodnotu odporu jedné fáze při 100 °C.

$$R_{1f/100} = (1,32) \cdot R_{1f/20} = 1,32 \cdot 0,0017 = 0,0023 \Omega \quad (1.43)$$

Procentní hodnota úbytku napětí na ohmickém odporu jedné fáze je:

$$u_R = \frac{R_{1f/100} I_F}{U_F} \cdot 100 = \frac{0,0023 \cdot 916,1}{240,15} \cdot 100 = 0,88\% \quad (1.44)$$

Rozptylová reaktance vinutí statoru:



Velikost rozptylové reaktance je dána magnetickou vodivostí drážky induktu, vodivostí čel vinutí a vodivostí mezi sousedními zuby přes vzduchovou mezeru. Tyto vodivosti jsou zahrnuty uvnitř hranaté závorky následujícího výrazu.

Co se týče rozptylu drážky, tak h'_d je vzdálenost krajních vláken vodičů v drážce a h'_1 je vzdálenost horního krajního vodiče od kraje drážky (viz obr. vlevo). Hodnota b_d je šířka drážky a je rovna b_l .

$$\begin{aligned} X_\sigma &= \frac{(4\pi)^2 f N_s^2}{pq} l_e \left[\left(\frac{h'_2}{3b_d} + \frac{h'_1}{b_d} \right) + \frac{l_\epsilon}{l_e} q \left(0,187 + 0,166 \frac{t_p}{l_\epsilon} \beta \right) + \ln \left(1 + \frac{\pi z_1}{2b_d} \right) \right] 10^{-7} \quad (1.45) \\ &= \frac{(4\pi)^2 50 \cdot 12^2}{3 \cdot 4} 0,286 \left[\left(\frac{23,56}{3 \cdot 14,4} + \frac{8,94}{14,4} \right) + \frac{0,634}{0,286} \cdot 4 \left(0,187 + 0,166 \frac{0,325}{0,634} \beta \right) + \ln \left(1 + \frac{\pi \cdot 0,013}{2 \cdot 14,4} \right) \right] 10^{-7} = \\ &= 0,031 \Omega \end{aligned}$$

Procentní hodnota úbytku napětí na rozptylové reaktanci:

$$u_\sigma = \frac{X_\sigma I_F}{U_F} \cdot 100 = \frac{0,031 \cdot 916,1}{240,15} \cdot 100 = 11,8\% \quad (1.46)$$

1.4 Návrh magnetického obvodu stroje

1.4.1 Výpočet magnetického toku, vzduchové mezery, magnetické napětí reakce kotvy

Hlavní a základní určení velikosti magnetického toku určím z rovnice pro indukované napětí.

Magnetický tok:

$$\Phi = \frac{U_f}{4,44 f N_s k_{v1}} = \frac{240,15}{4,44 \cdot 150 \cdot 12 \cdot 0,9250} = 0,0325 \text{Wb} \quad (1.47)$$

Magnetický tok překontroluji z rozměrů stroje a velikostí magnetické indukce ve vzduchové mezeře.

Kontrolní výpočet:

$$\Phi = \frac{2}{\pi} t_p l_e B_\delta = \frac{2}{\pi} \cdot 0,325 \cdot 0,286 \cdot 0,55 = 0,03255 \text{Wb} \quad (1.48)$$

V následujícím výpočtu již počítám velikost vzduchové mezery. Při jejím návrhu počítám z procentní hodnoty nesyčené synchronní reaktance a procentní hodnoty rozptylové reaktance.

Vzduchová mezera:

$$\delta = k \frac{A t_p}{B_\delta} \cdot \frac{10^{-6}}{x_d - x_\sigma} = 43 \cdot \frac{33863 \cdot 0,325}{0,55} \cdot \frac{10^{-6}}{150 - 11,8} = 0,0062 \text{m} \rightarrow 6 \text{mm} \quad (1.49)$$

kde $k = (43-50)$, závisí na tvaru pólového nástavce, velikosti Carterova činitele a dalších parametrech a na velikosti procentní hodnoty nesyčené synchronní reaktance. Tu volím podle počtu pólů stroje 150 %.

Abych dosáhl pokud možno sinusového průběhu napětí kotvy pod pólovými nástavci, je nutné na okrajích nástavců mít větší vzduchovou mezeru. Obvykle je tato hodnota 1,5 až 2 násobek hodnoty vzduchové mezery v ose pólového nástavce.

Já volím tuto hodnotu 1,5.

$$\frac{\delta_{\max}}{\delta} = 1,5$$

Magnetické napětí reakce kotvy:

Amplituda základní harmonické reakce kotvy:

$$F_a = 0,45 \cdot m \frac{N_s k_{v1}}{p} I_F = 0,45 \cdot 3 \cdot \frac{12 \cdot 0,925}{3} \cdot 916,1 = 4576 A \quad (1.50)$$

Amplituda základní harmonické magnetického napětí v podélném (F_{d1}) a v příčném (F_{q1}) směru spočtu následujícím způsobem:

$$\begin{aligned} F_{ad} &= k_{ad} F_a = 0,875 \cdot 4576 = 4004 A \\ F_{aq} &= k_{aq} F_a = 0,405 \cdot 4576 = 1853 A \end{aligned} \quad (1.51)$$

Kde: k_{ad} , k_{aq} jsou činitele, které závisí na poměrech b_n / t_p a δ / t_p . Jejich hodnoty je možné zjistit z literatury [1.] (z obrázku 7.23 strana 384).

1.4.2 Dimenzování rozměrů magnetického obvodu

Při volbě hlavních rozměrů magnetického obvodu stroje jsem vycházel z již vyrobeného budiče s ohledem na to, že se budu snažit použít co nejvíce možných rozměrů tak, aby byla cena výroby prototypového budiče co nejnižší. Výška pólu byla 85mm a nástavce 15mm, šířka pólu 160mm a nástavce 227mm. V mém případě tedy volím tyto hodnoty shodně. $\delta_p = 160\text{mm}$, $h_p = 85\text{mm}$, $\delta_n = 227\text{mm}$, $h_n = 15\text{mm}$

Určím výšku jha statoru:

$$h_{js} = \frac{(1+v)\Phi}{2 \cdot B_{js} \cdot L_{js}} = \frac{(1+0,15)0,0325}{2 \cdot 0,68 \cdot 0,44} = 0,062m \rightarrow 60\text{mm} \quad (1.52)$$

Kde: v je předpokládaná poměrná hodnota rozptylového toku mezi póly.

B_{js} je magnetická indukce ve statoru stroje ($1,25 \cdot B\delta = 1,25 \cdot 0,55 = 0,68T$), přičemž ale skutečná magnetická indukce ve statoru stroje je menší, protože jak je vidět z konstrukčního návrhu, tak celá kostra slouží jak k mechanickému připevnění pólů, cívek a nástavců, tak k vedení magnetického toku a jelikož je celá z magnetického materiálu, budící tok tekoucí kóstrou se rozptyluje po větší délce, než jsou délky pólů. Přesněji by bylo možné stroj analyzovat ve 3D elektromagnetickém výpočtu. Již při výrobě předcházejícího typu bezkartáčového budiče se použily na jho statoru materiály o tloušťce 60mm, proto i já dále budu uvažovat shodnou tloušťku.

L_{js} je tedy předpokládaná délka, kterou prochází magnetický tok.

Určím výšku jha rotoru:

$$h_{jr} = \frac{\Phi}{2 \cdot B_{jr} \cdot k_{fe} \cdot l_e} = \frac{0,0325}{2 \cdot 0,72 \cdot 0,95 \cdot 0,286} = 0,085m \rightarrow 85mm \quad (1.53)$$

B_{jr} je magnetická indukce v rotoru stroje ($1,25 \cdot B \delta = 1,3 \cdot 0,55 = 0,72T$)

Výpočet středních siločar magnetického obvodu:

Pól:

$$l_p = h_p + h_n = 85 + 15 = 100mm \quad (1.54)$$

$$l_s = \frac{\pi \left[D_1 + 2 \left(\delta + h_p + h_n + \frac{h_{js}}{2} \right) \right]}{4p} = \quad (1.55)$$

$$= \frac{\pi \left[620 + 2 \left(6 + 85 + 15 + \frac{60}{2} \right) \right]}{4 \cdot 3} = 234mm$$

$$\text{Jho rotoru: } l_s = \frac{\pi [D_1 - 2(h_d) - h_{jr}]}{4p} = \frac{\pi [620 - 2 \cdot 34 - 85]}{4 \cdot 3} = 122mm \quad (1.56)$$

1.5 Výpočet magnetizační charakteristiky stroje

Pro přesný výpočet musím uvažovat vliv radiálních chladících kanálů a také vliv drážkování statoru stroje. To je zohledněno za pomoci Carterova činitele, který má ve výsledku vliv na celkové magnetické pole uvnitř vzduchové mezery.

Carterův činitel (vliv drážkování rotoru stroje):

$$\frac{b_d}{z_1} = \frac{14,4}{12,6} = 1,14 \quad (1.57)$$

$$\frac{b_d}{\delta} = \frac{14,4}{6} = 2,4$$

Z grafu pro výpočet Carterova činitele uvedeného v příloze [4] lze odečíst hodnotu

$$k_{cd} = 1,2.$$

Carterův činitel (vliv radiálních chladících kanálů):

$$k_{ck} = \frac{1}{1 + \frac{\delta}{2 + \delta} \cdot \frac{\check{s}_k \cdot i}{l_e}} = \frac{1}{1 + \frac{6}{2 + 6} \cdot \frac{8,8}{286}} = 0,86 \quad (1.58)$$

Celkovou hodnotu Carterova činitele spočítám následujícím způsobem.

$$k_c = k_{cd} \cdot k_{ck} = 1,2 \cdot 0,86 = 1,03 \quad (1.59)$$

A výsledné magnetické napětí na vzduchové mezeře je :

$$F_{\delta} = 0,8k_c \delta B_{\delta} \cdot 10^6 = 0,8 \cdot 1,03 \cdot 0,006 \cdot 0,55 \cdot 10^6 = 2719A \quad (1.60)$$

1.5.1 Charakteristika naprázdno

Výpočet charakteristiky naprázdno je proveden v tabulkách v příloze [6] a [7]. Nejprve jsem určil magnetizační charakteristiku zubové vrstvy příloha [6], přičemž jsem použil obrázky z přílohy [5] a [9], ze které vychází počáteční hodnota pro návrh budícího vinutí. Odečtená hodnota magnetického napětí z přílohy [8] je 5800A.

1.6 Návrh budícího vinutí

Jako výchozí hodnoty pro návrh a výpočet budícího vinutí stroje беру hodnotu magnetického napětí, které jsem odečetl z charakteristiky naprázdno viz příloha [8]. Výchozí hodnota magnetického napětí je 5800A. Nejprve potřebuji znát šířku budící cívký, budu uvažovat, že se cívka vejde pod pólový nástavec.

$$a = \frac{b_n - b_p}{2} = \frac{0,227 - 0,16}{2} = 0,0335m \quad (1.61)$$

Tomu potom odpovídá střední délka závitu cívký:

$$l_{bs} = 2(L_p + b_p + 2a) = 2(0,342 + 0,16 + 2 \cdot 0,0335) = 1,137m \quad (1.62)$$

V následujícím kroku navrhnu průřez vodiče tvořící vinutí budící cívký.

$$S'_{Cub} = \frac{\rho_{Cu} l_{bs} 2p F_b}{0,9 U_b} = \frac{1}{56} \frac{1,137 \cdot 2 \cdot 3 \cdot 5808}{0,9 \cdot 150} = 5,06mm^2 \quad (1.63)$$

Vyberu vhodné rozměry budící cívký tak, aby efektivní plocha vodiče byla co nejbližší, nebo vyšší než plocha S'_{Cub} . Z tabulky uvedené v příloze [10] jsem vybral vodič o rozměrech neizolovaného vodiče: šířka $h_v = 4,5mm$ a výška $b_v = 1,2mm$, přičtu-li tloušťku izolace, tak vychází rozměry izolovaného vodiče: šířka $h_{vi} = 4,85mm$ a výška $b_{vi} = 1,55mm$. Skutečný efektivní průřez tohoto vodiče (ČSN norma bere v úvahu zaoblení vodičů a drsnost a nerovnoměrnost povrchu) je $S_{Cub} = 5,18mm^2$.

Pro určení velikosti budícího proudu nyní zvolím proudovou hustotu ve vodiči $\sigma_{Cub} = 2,1 A/mm^2$ a budící proud určím:

$$I_b = \sigma_{Cub} \cdot S_{Cub} = 2,1 \cdot 5,18 = 10,9 A. \quad (1.64)$$

Počet závitů budící cívky vychází ze vztahu:

$$N_b = \frac{F_b}{I_b} = \frac{5808}{10,9} = 533 \quad (1.65)$$

Počet poloh cívky (počet závitů vedle sebe určím podílem prostoru pro cívku výškou vodiče budící cívky včetně izolace).

$$n'_p = \frac{a - t_k}{h_{vi}} = \frac{33,5 - 5}{4,85} = 5,88 \quad (1.66)$$

Volím $n_p = 6$

Tloušťka cívky:

$$b_c = h_{vi} n_p = 4,85 \cdot 6 = 29,1 \text{ mm} \quad (1.67)$$

Počet závitů v jedné poloze vodiče:

$$N'_{p1} = \frac{N_b}{n_p} = \frac{533}{6} = 88,9 \quad (1.68)$$

Volím $n_{p1} = 89$ závitů.

Výška budící cívky:

$$h_c = N_{p1} b_{vi} = 89 \cdot 1,55 = 138 \text{ mm} \quad (1.69)$$

Výška je moc velká (místo pro cívku je 80mm), je tedy nutné změnit počet poloh cívky.

Pro následující výpočet volím $n_p = 13$ a výpočet opakuji.

$$b_c = h_{vi} n_p = 4,85 \cdot 13 = 63,05 \text{ mm} \quad (1.70)$$

Počet závitů v jedné poloze vodiče:

$$N'_{p1} = \frac{N_b}{n_p} = \frac{533}{13} = 41,7, \text{ volím } n_{p1} = 42 \text{ závitů.} \quad (1.71)$$

Výška budící cívky:

$$h_c = N_{p1} b_{vi} = 42 \cdot 1,55 = 65,1 \text{ mm} \quad (1.72)$$

Dále musím připočítat tloušťku kostřičky budící cívky.

Výška cívky včetně kostřičky je:

$$h_p = h_c + 2t_k = 65,1 + 2 \cdot 2,5 = 75,1 \text{ mm} \quad (1.73)$$

Kostřička s cívkou se na pól vejde s rezervou cca 10mm (výška pólu je 85mm).

Nyní stanovím orientačně výpočet oteplení budící cívky budiče.

Vnější obvod budící cívky určím:

$$l_{be} = 2[L_p + b_p + 4(b_c + t_k)] = 2[0,342 + 0,16 + 4(0,063 + 0,005)] = 1,548m \quad (1.74)$$

Střední obvod budící cívky vypočítám:

$$l_{bs} = 2\left[L_p + b_p + 4\left(t_k + \frac{b_c}{2}\right)\right] = 2\left[0,342 + 0,16 + 4\left(0,005 + \frac{0,063}{2}\right)\right] = 1,292m \quad (1.75)$$

Ochlazovací plocha všech budících cívek:

$$O_{2pc} = h_c l_{be} 2p = 0,0651 \cdot 1,548 \cdot 2 \cdot 3 = 0,605m^2 \quad (1.76)$$

Stejnoseměrný odpor sériově spojených cívek budícího vinutí:

$$R_{b/100} = 1,32 \cdot \rho \frac{l_{bs} N_b 2p}{S_{Cub}} = 1,32 \cdot \frac{1}{56} \cdot \frac{1,292 \cdot 533 \cdot 2 \cdot 3}{5,18} = 18,59 \quad (1.77)$$

Jouleovy ztráty v budícím vinutí spočítám následovně:

$$\Delta P_{Cub} = R_{b/100} I_b^2 = 18,59 \cdot 10,9^2 = 2209W \quad (1.78)$$

Oteplení budící cívky:

$$\Delta \vartheta_{Cub} = \frac{1,18 \cdot \Delta P_{Cub}}{\alpha O_{2pc}} = \frac{1,18 \cdot 2209}{85 \cdot 0,605} = 50,7^\circ C \quad (1.79)$$

1.7 Ztráty a účinnost budiče

Celkové ztráty se počítají součtem všech ztrát vzniklých ve stroji. Celkové ztráty se skládají z Joulových ztrát ve vinutí (kotva, budící vinutí, usměřňovač), ztrát v železe (rotorové plechy, ztráty v zubech plechů rotoru), povrchové ztráty, mechanické ztráty a přídavné ztráty.

Jouleovy ztráty

Ve vinutí kotvy:

$$\Delta P_{Cu1} = m R_{1/100} I_F^2 = 3,0 \cdot 0,023 \cdot 916,1^2 = 5790,8W \quad (1.80)$$

V budícím vinutí:

$$\Delta P_{Cub} = R_{b/100} I_b^2 = 18,59 \cdot 10,9^2 = 2209W \quad (1.81)$$

Ztráty průchodem proudu přes usměrňovací diodu:

$$\Delta P_{Dioda} = U_d I_F \cdot \frac{1}{3} = 1,2 \cdot 916 \cdot \frac{1}{3} = 366,5W \quad (1.82)$$

Celkové ztráty na usměrňovači:

$$\Delta P_{Usč} = 12 \cdot \Delta P_{Dioda} = 12 \cdot 366,5 = 4398W \quad (1.83)$$

V železe:

Ztrátové číslo plechů: $\Delta p_{Fe} = 1,5 \text{ W/kg}$

Hmotnost rotorových plechů:

$$\begin{aligned} m_{Fer} &= \left[\frac{\pi}{4} (D_3^2 - D_h^2) - 12 \cdot \frac{\pi}{4} (D_{Chl}^2) \right] l_e k_{Fe} \rho_{Fe} = \\ &= \left[\frac{\pi}{4} (0,552^2 - 0,281^2) - 12 \cdot \frac{\pi}{4} (72^2) \right] 0,286 \cdot 0,95 \cdot 7800 = 272,2kg \end{aligned} \quad (1.84)$$

Ztráty v jádře rotoru stroje:

$$\Delta P_{Fer} = 1,8 \cdot \Delta p_{Fe} \cdot B_{jr}^2 \cdot \left(\frac{f}{50} \right)^{1,3} m_{Fer} = 1,8 \cdot 1,5 \cdot 0,7^2 \cdot \left(\frac{150}{50} \right)^{1,3} \cdot 272,2 = 1502W \quad (1.85)$$

Ztráty zubech rotoru stroje:

$$m_{Fez} = Q \cdot z_2 \cdot h_d \cdot l_e \cdot k_{Fe} \rho_{Fe} = 72 \cdot 0,0117 \cdot 0,034 \cdot 0,286 \cdot 0,95 \cdot 7800 = 60,7 \text{ kg} \quad (1.86)$$

$$\Delta P_{Fez} = 2 \cdot \Delta p_{Fe} \cdot B_{z2}^2 \cdot \left(\frac{f}{50} \right)^{1,3} m_{Fez} = 2 \cdot 1,5 \cdot 1,56^2 \cdot \left(\frac{150}{50} \right)^{1,3} \cdot 60,7 = 1848,5W \quad (1.87)$$

Povrchové ztráty:

$$\begin{aligned} \Delta P_p &= \frac{\pi}{2} D_1 \alpha L_p k_0 \left(\frac{Q \cdot n}{10000} \right)^{1,5} (t_{d1} \beta \cdot 1000 \cdot B_\delta \cdot k_c)^2 = \\ &= \frac{\pi}{2} \cdot 0,6 \cdot 0,7 \cdot 0,340 \cdot 8,6 \cdot \left(\frac{72 \cdot 3000}{10000} \right)^{1,5} \cdot (0,027 \cdot 0,17 \cdot 0,55 \cdot 0,942)^2 = 1131,7W \end{aligned} \quad (1.88)$$

Mechanické ztráty zanedbávám, (budič je letmo uložený) jelikož nemá tedy ztráty vlivem mechanického tření v ložiskách stroje, a protože je bezkartáčový tak zde není žádné tření kluzných kontaktů. Stroj je navrhnutý s cizím chlazením, tak ani tyto ztráty nebudu nyní započítávat do celkové účinnosti budiče.

Přídavné ztráty volím empirickým vztahem:

$$\Delta P_{\text{Príd}} = 0,003 \cdot S = 0,003 \cdot 659800 = 1979W \quad (1.89)$$

Celkové ztráty stroje:

$$\begin{aligned} \Delta P &= \Delta P_{\text{Cu1}} + \Delta P_{\text{Cu2}} + \Delta P_{\text{Usč}} + \Delta P_{\text{Fer}} + \Delta P_{\text{Fez}} + \Delta P_p = \\ &= 5790,8 + 2209 + 4398 + 1502 + 1848,5 + 1131,7 = 16880W \end{aligned} \quad (1.90)$$

Celková účinnost stroje:

$$\eta = 100 \left(\frac{P}{P + \Delta P} \right) = 100 \left(\frac{640000}{640000 + 16880} \right) = 97,4\% \quad (1.91)$$

2 Mechanická kontrola u vybraných částí budiče

2.1 Výpočet namáhání drážkových klínů

Drážkový klín je nedílnou a velice důležitou součástí stroje, který zajišťuje vinutí v drážce proti působení odstředivých sil. Drážkový klín je nutné dimenzovat s určitou bezpečností pro různé teploty stroje. Se vzrůstající teplotou klínu klesá maximální dovolené smykové namáhání. V dnešní době je na trhu mnoho materiálů, ze kterých je možné drážkové klíny vyrobit a s největší pravděpodobností se bude jednat o kompozitní tří-složkové materiály, složené z pojiva, plnidla a nosné složky. Pro správné dimenzování je nutné počítat s maximálními otáčkami stroje, které se mohou v praxi objevit. Budu dimenzovat drážkový klín, který je vyroben z materiálu Isoval TM, (jehož katalogové listy jsou uvedeny v příloze [12] a [13]) pro mechanické namáhání způsobené odstředivou silou, kterou vyvolá hmotnost uložená v drážce (vinutí, izolační systém) a pro odstředivou sílu, kterou vyvolá vlastní hmotnost klínu při zkušebních otáčkách. Zkušební otáčky stroje jsou stanoveny na 120 % jmenovitých otáček.

$$n_{MAX} = 1,2n = 1,2 \cdot 3000 = 3600 \left[\frac{ot}{min} \right] \quad (2.1)$$

Je nutné dobře znát hmotnosti vinutí, které jsou uloženy v drážkách stroje. Z navrhnutého izolačního systému stroje v kapitole 1.3.3 lze stanovit průřezy vinutí a průřezy izolace, kterou budu pro další zjednodušení považovat za homogenní se stálou hustotou izolace $\rho_{IZ} = 1900 \frac{kg}{m^3}$ a hustotou mědi $\rho_V = 8900 \frac{kg}{m^3}$. Pro lepší představu je vhodné vztahovat hmotnost vinutí a izolace na konstantní délku, v mém případě vztáhnoutou na délku 10mm. Hmotnost vinutí lze stanovit z objemu, který vodič v drážkové části stroje zabírá a podobně lze stanovit i hmotnost izolačního systému.

To spočtu následovně:

$$\begin{aligned} m_{VDR} &= V_{VDR} \rho_V = 2S_{CUS} L \rho_V = 2 \cdot 114,3 \cdot 10^{-6} \cdot 352 \cdot 10^{-3} \cdot 8900 = 0,716 kg \\ m_{IZDR} &= V_{IZDR} \rho_{IZ} = (S_{DR} - 2 \cdot S_{CUS}) L \rho_{IZ} = \\ &= (14,4 \cdot 27 \cdot 10^{-6} - 2 \cdot 114,3 \cdot 10^{-6}) \cdot 352 \cdot 10^{-3} \cdot 1900 = 0,107 kg \end{aligned} \quad (2.2)$$

Hmotnost samotného klínu vypočítám:

$$m_{KL} = V_{KL} \rho_{IZ} = S_{KL} L \rho_{IZ} = 114,8 \cdot 10^{-6} \cdot 352 \cdot 10^{-3} \cdot 1900 = 0,077 kg \quad (2.3)$$

Následně můžu dopočítat hmotnosti vztažené na délku 1cm jednotlivých dílčích hmotností částí drážky.

$$\begin{aligned} m_{\text{VDR}1\text{cm}} &= \frac{10m_{\text{VDR}}}{L} = \frac{10.0,716}{352} = 0,0203 \frac{\text{kg}}{\text{cm}} \\ m_{\text{IZDR}1\text{cm}} &= \frac{10m_{\text{IZDR}}}{L} = \frac{10.0,107}{352} = 0,003 \frac{\text{kg}}{\text{cm}} \\ m_{\text{KL}1\text{cm}} &= \frac{10m_{\text{KL}}}{L} = \frac{10.0,077}{352} = 0,0022 \frac{\text{kg}}{\text{cm}} \end{aligned} \quad (2.4)$$

Vypočítám odstředivou sílu, která působí při zkušebních otáčkách stroje. Obecně odstředivá síla vyplývá ze vztahu $F_o = m r \omega^2$, kde dosadím jednotlivé hmotnosti vztažené na jednotku délky 1cm. Pro sílu vyvolanou odstředivou silou způsobenou hmotností klínu budu uvažovat rameno $r_K = 0,306m$, pro sílu vyvolanou hmotností vinutí a jeho izolace uvažuji rameno $r_V = 0,2895m$. Dosazením do vztahu (2.5) můžu určit velikost odstředivých sil na jednotku délky 1cm.

$$\begin{aligned} F_{\text{OKL}} &= 1,1 \cdot 10^{-2} \cdot m_{\text{KL}1\text{cm}} r_K (n_{\text{MAX}})^2 = \\ &= 1,1 \cdot 10^{-2} \cdot 0,0022 \cdot 0,306 \cdot (3600)^2 = 95 \frac{\text{N}}{\text{cm}} \\ F_{\text{OV}} &= 1,1 \cdot 10^{-2} \cdot (m_{\text{VDR}1\text{cm}} + m_{\text{IZDR}1\text{cm}}) \cdot r_V (n_{\text{MAX}})^2 = \\ &= 1,1 \cdot 10^{-2} \cdot (0,0203 + 0,003) \cdot 0,289 \cdot (3600)^2 = 959 \frac{\text{N}}{\text{cm}} \end{aligned} \quad (2.5)$$

Celková odstředivá síla je potom rovna součtu dílčích odstředivých sil na obou ramenech.

$$F_o = F_{\text{OKL}} + F_{\text{OV}} = 95 + 959 = 1054 \frac{\text{N}}{\text{cm}} \quad (2.6)$$

Další výpočet namáhání klínu se provádí obdobně jako namáhání nosníku. Odstředivá síla způsobí reakci A, ta se dále rozloží do vodorovné A_x a svislé složky A_y . Výpočty jednotlivých složek reakce A jsou počítány následovně:

$$\begin{aligned} A_y &= \frac{F_o}{2} = \frac{1054}{2} = 527 \frac{\text{N}}{\text{cm}} \\ A_x &= \frac{F_o}{2} \tan \alpha = \frac{1054}{2} \tan 65 = 1130 \frac{\text{N}}{\text{cm}} \end{aligned} \quad (2.7)$$

Drážkový klín kontroluji na otlačení, ohyb a smyk:

$$\begin{aligned}
 \text{Otlak : } \sigma_D &= \frac{A_x}{S} = \frac{F_o}{2 \cdot v} \tan \alpha = \frac{1054}{2 \cdot 6,5 \cdot 10} \cdot \tan 65 = 17,39 \text{ MPa} \\
 \text{Ohyb : } \sigma_o &= \frac{M_o}{W_o} = \frac{F_o (a + p)}{8 \frac{1}{6} v^2 \cdot 10} = \frac{1054(20,9 + 14,4)}{\frac{1}{6} 6,5^2 \cdot 10} = 66,05 \text{ MPa} \\
 \text{Smyk : } \tau_{MAX} &= \frac{3}{2} \tau_s = \frac{3}{2} \frac{T}{S} = \frac{3}{2} \frac{A_y}{v \cdot 10} = \frac{3 \cdot 527}{2 \cdot 6,5 \cdot 10} = 12,16 \text{ MPa}
 \end{aligned} \quad (2.8)$$

Dále dimenzování podle Mohra:

$$\sigma_{red} = 2\tau_{MAX} = 2 \frac{3}{2} \tau_s = 2 \frac{3}{2} \frac{T}{S} = 2 \frac{3}{2} \frac{A_y}{v \cdot 10} = 3 \frac{527}{6,5 \cdot 10} = 24,32 \text{ MPa} \quad (2.9)$$

Platí-li $\frac{a+p}{2} > v$, tak se zanedbává smykové namáhání. A celkové namáhání tlakem a tahem je spočteno v rovnici (2.10).

$$\begin{aligned}
 \sigma_{DC} &= \sigma_D + \sigma_o = 17,39 + 66,05 = 83,44 \text{ MPa} \\
 \sigma_{TC} &= |\sigma_D - \sigma_o| = |17,39 - 66,05| = 48,66 \text{ MPa}
 \end{aligned} \quad (2.10)$$

Nyní když znám celkové namáhání tlakové a ohybové, určím bezpečnost v dimenzování klínů pro různé teploty rotorového tělesa. Z hodnot, které uvádí výrobce materiálu Isoval TM, jsem vyčetl hodnoty dovoleného ohybového namáhání pro teploty 23 °C, 120 °C, 150 °C, které jsou 400MPa, 280MPa, 200MPa a dopočtení jednotlivých bezpečností jsou shrnuty v následující tabulce.

Tabulka 2: Tabulka vypočtených hodnot bezpečností materiálu klínů pro různé teploty

Teplota [°C]	Dovolené ohybové namáhání [MPa]	Bezpečnost[-]
23	400	4,79
120	280	3,35
150	200	2,39

Bezpečnost se počítá poměrem dovoleného namáhání a skutečného namáhání .

$$\sigma_{DC} \leq \frac{1}{k} \sigma_{PD} \Rightarrow k \geq \frac{\sigma_{PD}}{\sigma_{DC}} = \frac{280}{83,44} = 3,35[-] \quad (2.11)$$

2.2 Výpočet bandáží čel vinutí a kontrola prostoru pro bandáž

Pro návrh a výpočet bandáží čel vinutí potřebuji znát hmotnosti čel vinutí a hmotnosti izolace mezi čely. Hmotnost cívek tvořících čela stroje mohu například stanovit takto: Známe-li celkovou délku vodiče, profil vodiče, který tvoří čelo, a hustotu materiálu vodiče. Délka vodiče zadního čela (horní cívka + spodní cívka+spojka) je rovná 534mm a podobně délka předního čela je 624mm (délky jsem získal opět z interně používaným 2D programem používaným v Brush-SEM). Potom mohu již snadno určit hmotnost vinutí čel stroje a to pouze vynásobením objemu jedné cívky hustotou mědi a vynásobením počtem cívek.

$$m_{Z\check{C}1C} = V_{Z\check{C}} \rho_{Cu} = l_{Z\check{C}} S_{CUS} \rho_{Cu} = 534 \cdot 10^{-3} \cdot 114,3 \cdot 10^{-6} \cdot 8900 = 0,54 \text{ kg} \quad (2.12)$$

$$m_{P\check{C}1C} = V_{P\check{C}} \rho_{Cu} = l_{P\check{C}} S_{CUS} \rho_{Cu} = 624 \cdot 10^{-3} \cdot 114,3 \cdot 10^{-6} \cdot 8900 = 0,63 \text{ kg}$$

Určím hmotnosti předního a zadního čela.

$$\begin{aligned} m_{P\check{C}} &= Q \cdot m_{P\check{C}1C} = 72 \cdot 0,54 = 38,9 \text{ kg} \\ m_{Z\check{C}} &= Q \cdot m_{Z\check{C}1C} = 72 \cdot 0,63 = 45,36 \text{ kg} \end{aligned} \quad (2.13)$$

Hmotnosti izolací předního a zadního čela opět stanovím podobným způsobem. Je potřeba stanovit objem izolace, ve kterém se izolace bude nacházet a dále od něj odečíst objem čel a propojek vinutí. Opět využiji model budiče, který jsem namodeloval ve 3D softwaru a jako výchozí parametry pro určení objemu zadní (přední) bandáže jsou:

Délka bandáže: $l_{b1} = 130 \text{ mm}$; $l_{b2} = 310 \text{ mm}$,

Vnější průměr bandáže: $d_{b1} = 628 \text{ mm}$; $d_{b2} = 628 \text{ mm}$,

Vnitřní průměr bandáže: $d_{b01} = 548,8 \text{ mm}$; $d_{b02} = 546 \text{ mm}$.

Objem prostoru zadního čela a objem předního čela v rovnici (2.14) a(2.15). A následně v dalších rovnicích můžu stanovit objem, čistou hmotnost izolace pro přední i zadní čelo.

$$V_{b1} = \frac{(d_{b1}^2 - d_{b01}^2) \pi}{4} l_{b1} = \frac{((628 \cdot 10^{-3})^2 - (548,8 \cdot 10^{-3})^2) \pi}{4} 130 \cdot 10^{-3} = 0,00952 \text{ m}^3 \quad (2.14)$$

$$V_{b2} = \frac{(d_{b2}^2 - d_{b02}^2) \pi}{4} l_{b2} = \frac{((628 \cdot 10^{-3})^2 - (546 \cdot 10^{-3})^2) \pi}{4} 310 \cdot 10^{-3} = 0,0234 \text{ m}^3 \quad (2.15)$$

zadní :

$$V_{i21} = V_{b1} - 72V_{Z\check{C}} = V_{b1} - 72l_{Z\check{C}} S_{CUS} = 0,00952 - 72 \cdot 534 \cdot 10^{-3} \cdot 114,3 \cdot 10^{-6} = 5,13 \cdot 10^{-3} \text{ m}^3 \quad (2.16)$$

přední :

$$V_{i22} = V_{b2} - 72V_{P\check{C}} = V_{b2} - 72l_{P\check{C}} S_{CUS} = 0,0234 - 72 \cdot 624 \cdot 10^{-3} \cdot 114,3 \cdot 10^{-6} = 18,26 \cdot 10^{-3} \text{ m}^3$$

zadní :

$$m_{iz1} = V_{iz1} \cdot \rho_{iz} = 5,13 \cdot 10^{-3} \cdot 1900 = 9,75 \text{ kg} \quad (2.17)$$

prední :

$$m_{iz2} = V_{iz2} \cdot \rho_{iz} = 18,26 \cdot 10^{-3} \cdot 1900 = 34,7 \text{ kg}$$

Bandáž musí zachytit odstředivé síly, které působí na čela vinutí a na samotnou bandáž. Pro jednoduchost budu uvažovat, že rotující hmota je volná (se zanedbáním vlivu uložení v železe). Pro správný návrh je nutné navrhnout vhodné předpětí bandáže, které při zkušebních otáčkách bude s dostatečnou bezpečností vyvíjet tlak působící proti odstředivé síle. Bandáž se vždy vine s určitým přepětím, které musí zabránit případným posuvům bandáže. Návrh bandáže pokračuje výpočtem odstředivé síly, která je vyvolána hmotností čel vinutí a hmotností izolace mezi čely. Pro výpočet odstředivých sil potřebuji dále znát rameno na kterém je uloženo těžiště hmoty. Potřebuji tedy znát poloměr, na kterém se nachází přibližně střed těžiště izolace a také poloměr, kde se nachází těžiště vinutí. Proto opět použiji hodnoty z 3D modelu. Pro výpočet odstředivých sil při výpočtu namáhání klínů je těžiště vinutí $r_v = 0,2895 \text{ m}$, poloměr těžiště izolace vinutí $r_{iz} = 0,295 \text{ m}$. Volím pro další výpočet poloměr $r = 0,29 \text{ m}$. Nyní dopočítám celkovou hmotnost vinutí čela včetně izolace jak pro zadní, tak pro přední část stroje.

$$m_{PC} = m_{PČ} + m_{iz2} = 38,9 + 34,7 = 73,6 \text{ kg} \quad (2.18)$$

$$m_{ZC} = m_{ZČ} + m_{iz1} = 45,36 + 9,75 = 55,11 \text{ kg}$$

Nyní můžu přistoupit ke konkrétnímu výpočtu odstředivé síly, způsobené rotací stroje. Odstředivou sílu zadního, případně předního čela stanovím následovně:

$$F_{OZČ} = 1,1 \cdot 10^{-2} \cdot m_{ZC} \cdot r (n_{MAX})^2 \cdot 10 = 1,1 \cdot 10^{-2} \cdot 55,11 \cdot 0,29 \cdot (3600)^2 \cdot 10 = 2278379 \text{ N} \quad (2.19)$$

$$F_{OPČ} = 1,1 \cdot 10^{-2} \cdot m_{PC} \cdot r (n_{MAX})^2 \cdot 10 = 1,1 \cdot 10^{-2} \cdot 73,6 \cdot 0,29 \cdot (3600)^2 \cdot 10 = 3042800 \text{ N}$$

Dále pak určím tangenciální sílu, které působí po obvodu stroje.

$$T_{ZČ} = \frac{F_{OZČ}}{2\pi} = \frac{2278379}{2\pi} = 362615 \text{ N} \quad (2.20)$$

$$T_{PČ} = \frac{F_{OPČ}}{2\pi} = \frac{3042800}{2\pi} = 484276 \text{ N}$$

Nyní, když jsem určil obvodovou sílu na povrchu bandáže, je nutné navrhnout bandáž, která zachytí takto působící sílu vyvolanou hmotností čel vinutí a jejich izolačního systému. Pro návrh bandáží jsem zvolil pásku z materiálu HYPERTEN 2000HP (katalogový list je uveden v příloze [14]), kde hodnota pevnosti v tahu pro 20 °C je $T_B = 180\text{N/mm}$. Volím pásku šířky $\check{s}_p=20\text{mm}$ o jmenovité tloušťce $t_p=0,3\text{mm}$. Ve stavu vytvrzeném je síla přetržení pásky $T_c = 5280\text{N}$. To odpovídá síle při přetržení:

$$\sigma_c = \frac{T_c}{\check{s}_p \cdot t_p} = \frac{5280}{20 \cdot 0,3} = 880\text{MPa}.$$

Dále musím uvažovat, aby při zkušebních otáčkách se bandáž vlivem odstředivých sil nepovolila. To znamená, že by došlo k vyrovnání odstředivé síly a síly, která je vyvolána předpětím při navíjení pásky. Toho lze docílit navinutím bandážové pásky tak, aby při zkušebních otáčkách stále působila větší síla vyvolána předpětím bandáže než odstředivá síla od hmotnosti vinutí. Toto předpětí se volí cca 50-60 % hodnoty na přetržení pásky ve vytvrzeném stavu. Konkrétně u materiálu HYPERTEN 2000HP je to hodnota přetržení pásky:

$$T_B = \sigma_{BP} \cdot \check{s}_p = 180 \cdot 20 = 3600\text{N} \quad (2.21)$$

Z této hodnoty můžu dopočítat hodnotu předpětím, se kterým navinu bandáž.

$$T_N = T_c \cdot 0,5 = 5280 \cdot 0,5 = 2640\text{N} \quad (2.22)$$

V následujícím výpočtu předpokládám požadovanou bezpečnost 2 při zkušebních otáčkách. Počet závitů bandážové pásky určím následovně:

$$z = \frac{k_p \cdot T_{z\check{c}}}{T_c - k_p \cdot 0,6 \cdot T_N} = \frac{2,362615}{5280 - 2,0 \cdot 0,6 \cdot 2640} = 232z \quad (2.23)$$

Pokud budu mít dodávanou pásku vysoké kvality a k odchylkám od skutečných vlastností pásky nebude docházet, můžu potom určit počet závitů pro různou bezpečnost. V následující tabulce jsou vypočítány počty závitů bandážové pásky pro jednotlivé hodnoty bezpečnosti vypočtené pro přední a zadní bandáž.

Tabulka 3: Tabulka vypočtených závitů bandáže předního a zadního čela, s uvažováním předpětí pásky.

Požadovaná bezpečnost	Přední bandáž-počet z.[-]	Zadní bandáž-počet z.[-]
1,5	198	149
1,75	250	187
2	310	232
2,5	469	351
3	712	533

Nyní je potřeba zkontrolovat prostor, ve kterém se bude bandáž nacházet. Bude navinutá na předním a zadním čele vinutí rotoru stroje. Změřil jsem vnější průměr na povrchu vinutí $d_{PVIN} = 594mm$. Dále je potřeba jen zjistit kolik prostoru mám k dispozici a hodnotu porovnat s prostorem, který potřebuje přední a zadní bandáž. Prostor na výšku, který je k dispozici pro bandáž lze jednoduše spočítat takto:

$$h_{BAN} = \frac{D1 - d_{PVIN}}{2} = \frac{620 - 594}{2} = 13mm \quad (2.24)$$

Bandáže se budou navíjet s polovičním překrytím pásky. Pro zjednodušení výpočtu budu dále pokračovat, jako by se závity bandáže navinuly vedle sebe bez překrytí. Prakticky je jedno jestli se bude bandáž počítat s překrytím nebo bez překrytí, výsledná výška a výsledný objem bude vždy shodný. Počet závitů pásky vedle sebe je:

$$Z_{ZČ} = \frac{l_{b1} + 10}{\check{s}_p} = \frac{140}{20} = 7 \quad (2.25)$$

$$Z_{PČ} = \frac{l_{b2} + 10}{\check{s}_p} = \frac{320}{20} = 16$$

Počet řad na výšku je dán celkovým počtem závitů bandáže ku počtu řad vedle sebe.

$$\check{R}_{ZČ} = \frac{P_Z}{Z_{ZČ}} = \frac{232}{7} = 33 \quad (2.26)$$

$$\check{R}_{PČ} = \frac{P_P}{Z_{PČ}} = \frac{310}{16} = 20$$

Je nutné zkontrolovat výšku navrhnuté bandáže. Toho lze docílit vynásobením počtu řad na výšku přední a zadní bandáže s tloušťkou pásky.

$$h_{ZČ} = \check{R}_{ZČ} \cdot t_p = 33 \cdot 0,3 = 9,9mm \quad (2.27)$$

$$h_{PČ} = \check{R}_{PČ} \cdot t_p = 20 \cdot 0,3 = 6mm$$

Jelikož je výška prostoru pro bandáž 13mm a výšky jednotlivých bandáží nepřesahují tuto výšku, bandáže lze navinout.

Nyní provedu kontrolní výpočet tahového namáhání v průřezu bandážové pásky namáhané tangenciální silou předního a zadního čela:

$$\sigma_{ZČ} = \frac{T_{ZČ}}{h_{ZČ} \cdot l_{b1}} = \frac{362615}{9,9 \cdot 130} = 281,8MPa \quad (2.28)$$

$$\sigma_{PČ} = \frac{T_{PČ}}{h_{PČ} \cdot l_{b2}} = \frac{484276}{6,3 \cdot 110} = 260,4MPa$$

V porovnání s maximální pevností pásky v tahu po vytvrzení (880MPa) skutečně bandáž vydrží namáhání vyvolané odstředivými silami.

2.3 Výpočet namáhání zubu rotoru odstředivou silou

Při výpočtu namáhání zubu odstředivou silou se uvažuje vlastní hmotnost zubu, hmotnost klínu a hmotnost vinutí. Všechny tyto tři hmotnosti vytváří odstředivou sílu, na kterou musí být dimenzováno nejslabší místo v rotorovém paketu. Již v kapitole 2.1 jsem počítal odstředivou sílu vyvolanou klíny a vinutím včetně izolace. Nyní se tedy budu zabývat odstředivou silou, kterou vytvoří vlastní hmotnost zubu rotoru při zvýšených zkušebních otáčkách. Jak jsem již dříve uvedl, je vhodné počítat pro dobrou představu s hodnotami vztaženými na jednotku délky. V mém případě budu opět uvažovat 1cm. Z řezu zubu, který je uvedený v příloze [11], je nutné spočítat jeho plochu. Jedná se prakticky o dva lichoběžníky, tak není složité spočítat plochu takového zubu analyticky.

$$S_{ZUB} = \check{s}_k h_{dr} + \frac{\check{s}_k - \check{s}_{kl}}{2} h_{dr} + \check{s}_{kl2} h_{d0} + \frac{\check{s}_{hl} - \check{s}_{kl2}}{2} h_0 + \check{s}_{hl} h_1 \quad (2.29)$$

$$S_{ZUB} = 9,7.27 + \frac{12-9,7}{2} 27 + 7,65.6 + \frac{12,65-7,65}{2} 6 + 12,65.1 = 366,5mm^2$$

Pro kontrolu výpočtu jsem plochu zubu kontroloval oproti 3D modelu, kde vychází plocha zubu $S_{ZUB} = 366,8mm^2$. Hustotu železa rotoru uvažuji $\rho = 7700 \frac{kg}{m^3}$.

Dále pak určím hmotnost zubu.

$$m_{ZUB} = V_{ZUB} \cdot \rho_{Fe} = l_{ZUB} S_{ZUB} \cdot 7700 = 10 \cdot 10^{-3} \cdot 366,5 \cdot 7700 = 0,028 \frac{kg}{cm} \quad (2.30)$$

Velikost odstředivé síly působící od vlastní hmotnosti zubu je:

$$F_{OZUB} = 1,1 \cdot 10^{-2} \cdot m_{ZUB} r_{ZUB} (n_{MAX})^2 =$$

$$= 1,1 \cdot 10^{-2} \cdot 0,028 \cdot 0,293 \cdot (3600)^2 = 1169 \frac{N}{cm} \quad (2.31)$$

Celková odstředivá síla, pro kterou je nutné kontrolovat namáhání v kořeni zubu, lze vyjádřit dosazením známých hodnot do rovnice (2.31).

$$F_{OC} = F_{OV} + F_{OKL} + F_{OZUB} = 959 + 95 + 1169 = 2223 \frac{N}{cm} \quad (2.32)$$

Tato síla působí tahové namáhání v radiálním směru a plocha zubu v kořeni je namáhána právě odstředivou silou F_{OC} . Dále musím vypočítat tahové namáhání vyvolané odstředivou silou a porovnat jej s maximální dovolenou pevností v tahu rotorového tělesa.

$$\sigma_{KOŘ} = \frac{F_{OC}}{S_{KOŘ}} = \frac{2223}{9,65 \cdot 10} = 23 \text{MPa} \quad (2.33)$$

$$k = \frac{\sigma_r}{\sigma_{KOŘ}} = \frac{320}{23} = 13,9[-]$$

Bezpečnost u kontrolního výpočtu při namáhání na tah v kořeni zubu je velmi velká. Rotorový svazek se tedy neroztrhne.

2.4 Výpočet hřídele bezkartáčového budiče

Hřídel je součástí, která přenáší točivý moment z hřídele na elektrotechnické plechy a unáší v drážkách uložené vodiče třífázového vinutí. Tak jako každou strojní součást je třeba i hřídel dostatečně dimenzovat. Obecně se hřídele točivých strojů navrhují na zkratový moment, který může poškodit stroj například stříhnutím hřídele nebo šroubů příruby. Základní dimenzování hřídele stroje je určení průměru.

$$d_h = k_h^3 \sqrt{\frac{P_{MAX}}{n}} = 0,19 \sqrt[3]{\frac{1710}{3000}} = 0,158 \text{m} = 158 \text{mm} \quad (2.34)$$

Kde k_h je součinitel a velikost je v rozmezí intervalu

$$k_h \langle 0,18 - 0,2 \rangle$$

Jak je vidět v rovnici (2.34) jsem použil výkon maximální, který je uveden v zadání diplomové práce. Jelikož ale navrhují bezkartáčový budič, kdy dutým hřídelem vedou budící přírady do generátoru, tak je nutné vypočítat namáhání na krut dutého hřídele. Nejprve spočítám modul průřezu v krutu válcového mezikruží.

$$w_k = \frac{\pi}{16} \frac{D^4 - d^4}{D} = \frac{\pi}{16} \frac{281^4 - 100^4}{281} = 4,29 \cdot 10^6 \text{mm}^3 \quad (2.35)$$

Pro určení namáhání v krutu potřebuji znát moment stroje, který působí na hřídel.

$$M_{MAX} = \frac{P_{MAX}}{\omega} = \frac{P_{MAX}}{2 \cdot \pi \cdot 50} = \frac{1710 \cdot 10^3}{100 \pi} = 5443,1 [\text{Nm}] \quad (2.36)$$

A potom namáhání v krutu:

$$\tau_K = \frac{M_{MAX}}{w_k} = \frac{5443,1}{4,29 \cdot 10^6} = 1,26 \text{MPa} \quad (2.37)$$

Hřídel stroje je vyrobena z vysoce legované oceli, která má mez pružnosti cca 300MPa. Bezpečnost dimenzování vychází hodně přes 200. Ve skutečnosti tomu tak přesně není. Namáhání hřídele je nutné počítat z momentu, který je vyvinut při přechodových jevech (zkratech). Tento moment není dán jen při trojfázovém zkratu na svorkách generátoru, ale započítává se do toho celé soustrojí, které svou setrvačností působí kroutící moment.

Nejsem schopen přesně určit tento kroutící moment. Svou komplikovaností by spíše šlo o mechanické výpočty a pokud by bylo nutné spočítat s určitou přesností výsledek, zabralo by to přibližně tolik času, že by to vydalo na další diplomovou práci. Proto tedy dále uvažuji, že hřídel takto použitá, vydrží dané namáhání.

3 Závěr

Bezkartáčové budiče mají obrovské výhody vyplývající z jejich uspořádání. Jedná se o synchronní trojfázový generátor v opačném uspořádání, kde do rotoru se indukují napětí, je usměrněno rotujícím usměrňovačem a budící přívod vede dutým hřídelem skrz budič do rotoru turbogenerátoru. Na statoru jsou budící cívky a póly podobající se pólům u stejnosměrných strojů. Další velkou výhodou je ta, že budič netrpí na problémy vyplývající z uhlíkového prachu (nezanáší se a uhlík se neusazuje na žádných částech stroje). Tento bezkartáčový budič je letmo uložený a obsahuje také rotující, 6-pulzní trojfázový usměrňovač. Tím že budič je letmo uložený, nemá žádné kroužky a dokonce ani ložiska, v tomto konkrétním řešení je ventilace za pomoci cizího chlazení (ventilátor není na hřídeli budiče), tak v něm prakticky zanedbám ztráty mechanické i ventilační.

Musím říci, že nejsložitější část na celé diplomové práci bylo paradoxně modelování jednotlivých částí vinutí kotvy, které si můžete prohlédnout v příloze [15]. Práce mi přinesla mnoho zkušeností s problematikou modelování ve 3D, prohloubila znalosti v oblasti elektromagnetického návrhu synchronních strojů, a skutečnost že jsem měl tu možnost některé věci řešit přímo s pracovníky firmy Brush-SEM mi přinesla mnoho zkušeností s praktickým řešením určitých částí stroje. Měl jsem možnost zkontrolovat můj elektromagnetický výpočet stroje s výpočtovým programem, zjistil jsem, že mé vypočtené rozměry, hmotnosti, odstředivé síly či návrhy vinutí korespondují s výsledky vypočtených ve výpočtovém programu interně používaným ve firmě. Pokud půjdu do detailů nepodařilo se mi přesně určit hodnoty budícího magnetického napětí pro zubovou vrstvu rotoru stroje, přičemž chyba je pravděpodobně v nepřesném určené skutečné magnetické indukce v jednotlivých částech stroje při jevech, kdy dochází k přesycování částí zubů a magnetický tok se šíří i drážkou stroje. Odchylka byla přibližně 20 procent při velmi přebuzeném stavu stroje, ve kterém se v běžném provozu zdaleka nepohybuje. Porovná-li hodnoty pro indukci ve vzduchové mezeře při jmenovitém výkonu, odchylky byly cca do 5 %. Stroj považuji za správně navržený.

Použitá literatura

- [1.] Kopylov, I.P.: Stavba elektrických strojů, SNTL Praha 1988
- [2.] Červený, J.: Přednášky, *Vybrané partie z elektrických strojů (KEV/VPES)*, Plzeň
- [3.] Červený, J.: Přednášky, *Stavba elektrických strojů 1,2 (KEV/SES1,SES2)*, Plzeň
- [4.] Bartoš, V.: *Měření na elektrických strojích*, Plzeň 2002.
- [5.] Cigánek, L.: Stavba elektrických strojů, SNTL Praha 1958

Přílohy

Příloha 1: obrázek

Obrázek 3 Konstrukční uspořádání stroje, pohled na usměrňovač

Příloha 2: obrázky

Obrázek 4: Katalogový list výrobce usměrňovací diody použité v budiči

Obrázek 5: Katalogový list výrobce usměrňovací diody použité v budiči

Příloha 3: obrázek

Obrázek 6: Tingleyho schéma znázorňující zapojení vinutí stroje.

Příloha 4: Obrázek

Obrázek 7: Tabulka pro určení Carterova činitele pro drážkování kotvy stroje

Příloha 5: Obrázek

Obrázek 8: Charakteristika k určení skutečné indukce v zubech kotvy

Příloha 6: Obrázek

Obrázek 9: Charakteristika naprázdno bezkartáčového budiče

Příloha 7: Obrázek

Obrázek 10: Výpočet charakteristiky naprázdno

Příloha 8: Obrázek

Obrázek 11: Charakteristika naprázdno bezkartáčového budiče a grafické určení F_b

Příloha 9: Obrázek

Obrázek 12: Magnetizační charakteristiky materiálů budiče

Příloha 10: Obrázek

Obrázek 13: Výběr z normy ČSN 42 8308-1959, rozměry běžně dostupných pasových vodičů

Příloha 11: Obrázek

Obrázek 14: Náčrt zubu a drážky plechu rotoru

Příloha 12: Obrázek

Obrázek 15: Katalogový list materiálu klínů Isoval TM

Příloha 13: Obrázek

Obrázek 16: Katalogový list materiálu klínů Isoval TM

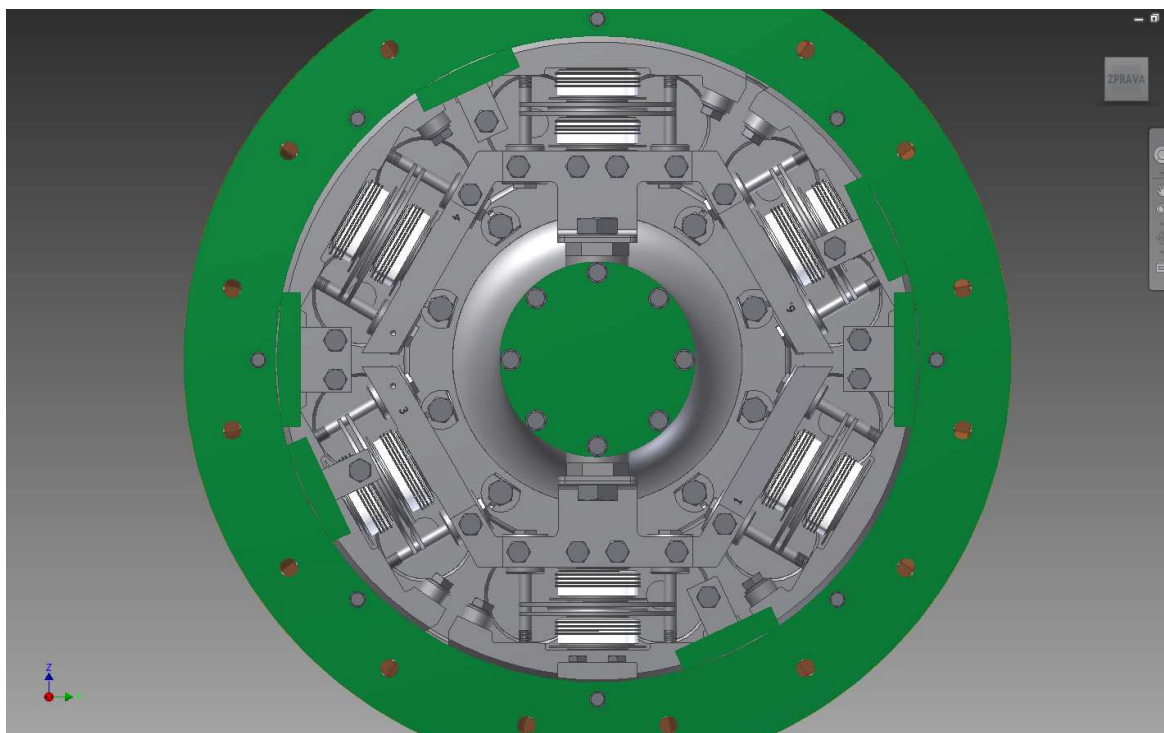
Příloha 14: Obrázek

Obrázek 17: Katalogový list materiálu bandáže Hyperten 2000HP

Příloha 15: Obrázky

Obrázky 19-26: Pohledy na namodelovaný stroj ve 3D CAD programu

Příloha 1:



Obrázek 3: Konstrukční uspořádání rotoru stroje, pohled na usměřňovač



5SDA 16F3806

Old part no. DA 808-1620-38

Avalanche Diode

Properties

- low on-state voltage
- avalanche reverse characteristics
- high operational reliability
- suitable for parallel operation

Key Parameters

V_{RRM}	=	3 800	V
I_{FAVm}	=	1 620	A
I_{FSM}	=	20 500	A
V_{TO}	=	1.030	V
r_T	=	0.320	mΩ

Types

	V_{RRM}
5SDA 16F3806	3 800 V
Conditions:	$T_j = -40 \div 160 \text{ }^\circ\text{C}$, half sine waveform, $f = 50 \text{ Hz}$

Mechanical Data

F_m	Mounting force	$22 \pm 2 \text{ kN}$
m	Weight	0.46 kg
D_s	Surface creepage d stance	30 mm
D_a	Air strike distance	20.5 mm

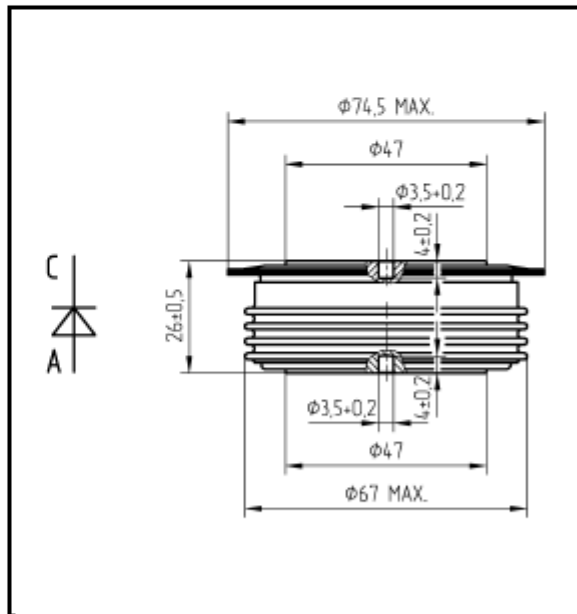


Fig. 1 Case

ABB
 ABB s.r.o.
 Novodvorska 1768/138a, 142 21 Praha 4, Czech Republic
 tel.: +420 261 306 250, <http://www.abb.com/semiconductors>

Obrázek 4: Katalogový list výrobce usměrňovací diody použité v budiči

Maximum Ratings		Maximum Limits	Unit	
V_{RRM}	Repetitive peak reverse voltage $T_J = -40 \div 160 \text{ }^\circ\text{C}$	3 800	V	
I_{FAVM}	Average forward current $T_C = 85 \text{ }^\circ\text{C}$	1 620	A	
I_{FRMS}	RMS forward current $T_C = 85 \text{ }^\circ\text{C}$	2 540	A	
I_{RRM}	Repetitive reverse current $V_R = V_{RRM}$	50	mA	
I_{FSM}	Non repetitive peak surge current $V_R = 0 \text{ V}$, half sine pulse	$t_p = 8.3 \text{ ms}$	21 900	A
		$t_p = 10 \text{ ms}$	20 500	A
I^2t	Limiting load integral $V_R = 0 \text{ V}$, half sine pulse	$t_p = 8.3 \text{ ms}$	1 990 000	A^2s
		$t_p = 10 \text{ ms}$	2 101 000	A^2s
P_{RSM}	Maximum avalanche power dissipation rectangular pulse 20 μs	50	kW	
$T_{Jmin} - T_{Jmax}$	Operating temperature range	-40 \div 160	$^\circ\text{C}$	
T_{STG}	Storage temperature range	-40 \div 160	$^\circ\text{C}$	

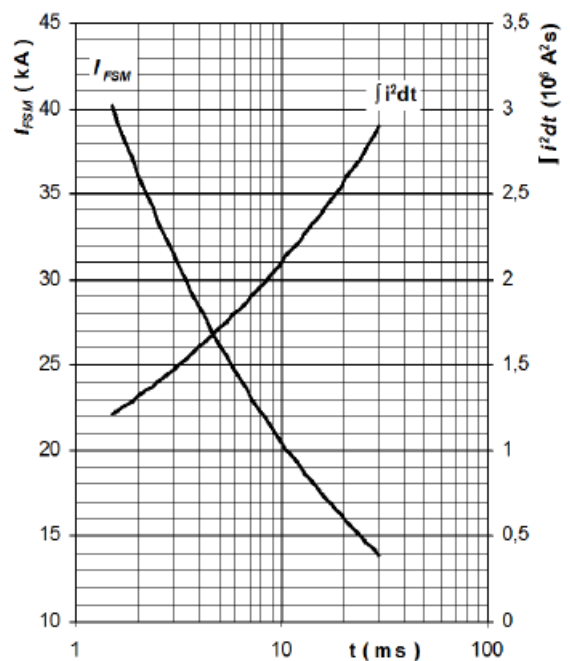
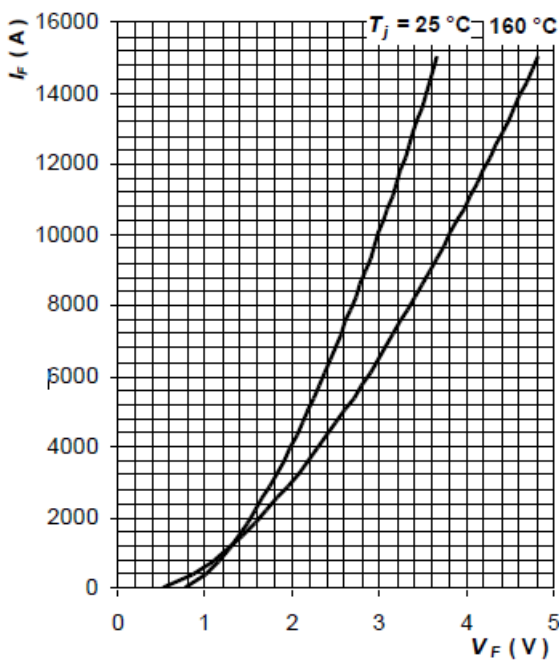
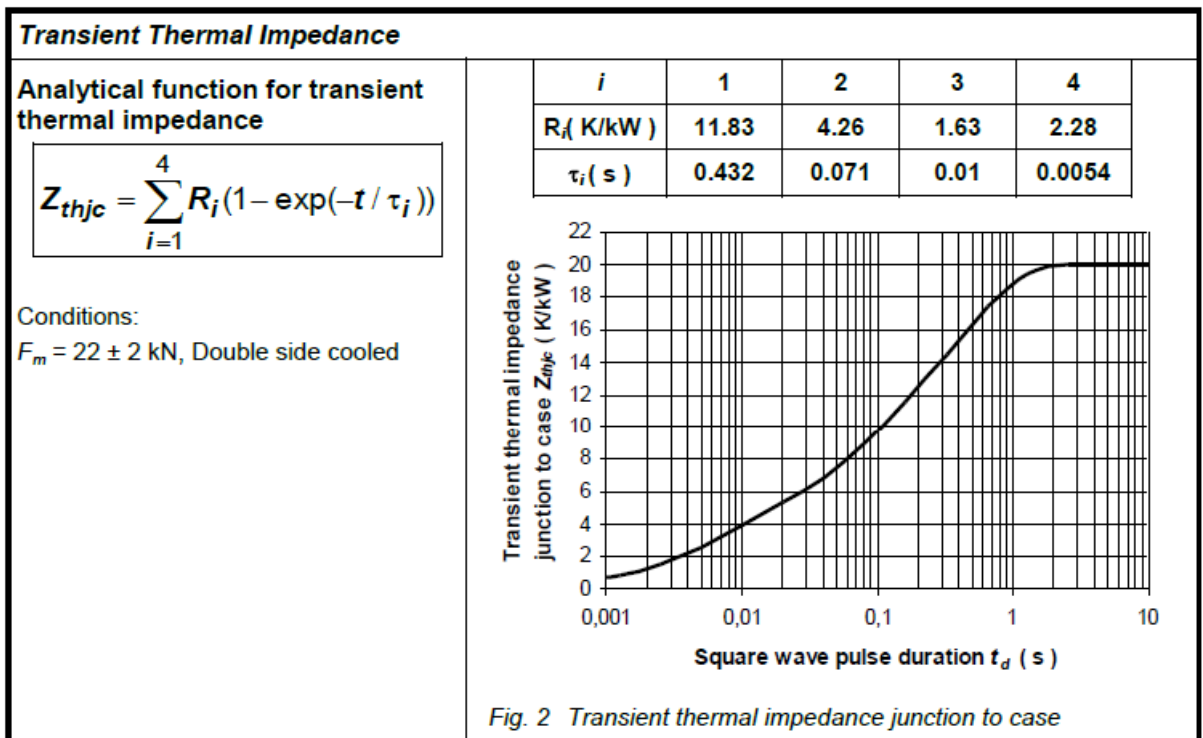
Unless otherwise specified $T_J = 160 \text{ }^\circ\text{C}$

Characteristics		Value			Unit
		min	typ	max	
V_{TO}	Threshold voltage			1.030	V
r_T	Forward slope resistance $I_F = 1000 \div 3000 \text{ A}$			0.320	$\text{m}\Omega$
V_{FM}	Maximum forward voltage $I_{FM} = 4\,000 \text{ A}$			2.320	V
Q_{rr}	Recovered charge $V_R = 100 \text{ V}$, $I_{FM} = 2\,000 \text{ A}$, $di_F/dt = -5 \text{ A}/\mu\text{s}$		3 700		μC

Unless otherwise specified $T_J = 160 \text{ }^\circ\text{C}$

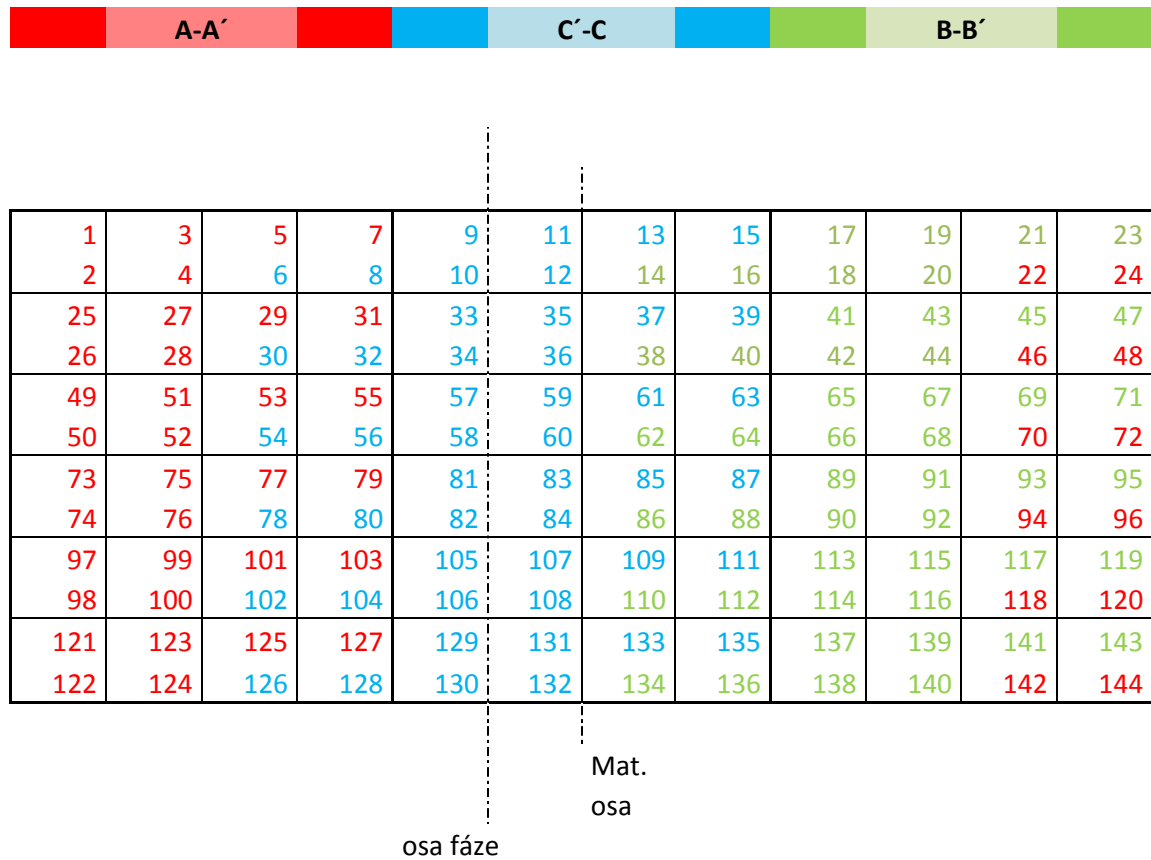
Thermal Parameters		Value	Unit	
R_{thjc}	Thermal resistance junction to case	double side cooling	20	K/kW
		anode side cooling	34	
		cathode side cooling	48	
R_{thch}	Thermal resistance case to heatsink	double side cooling	5	K/kW
		single side cooling	10	

Obrázek 5: Katalogový list výrobce usměrňovací diody použité v budiči



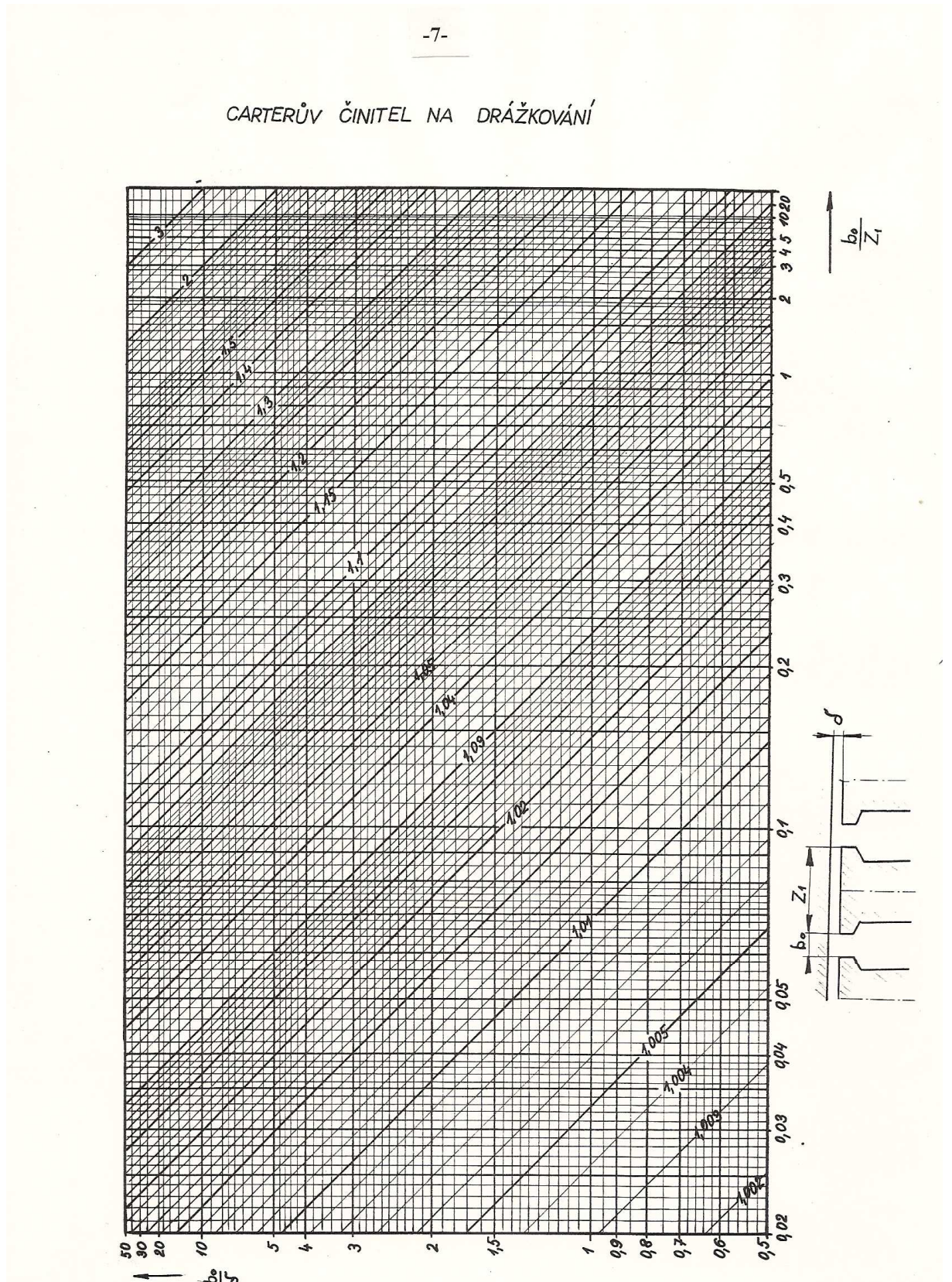
Obrázek 6: Katalogový list výrobce usměřňovací diody použité v budiči

Příloha 3:



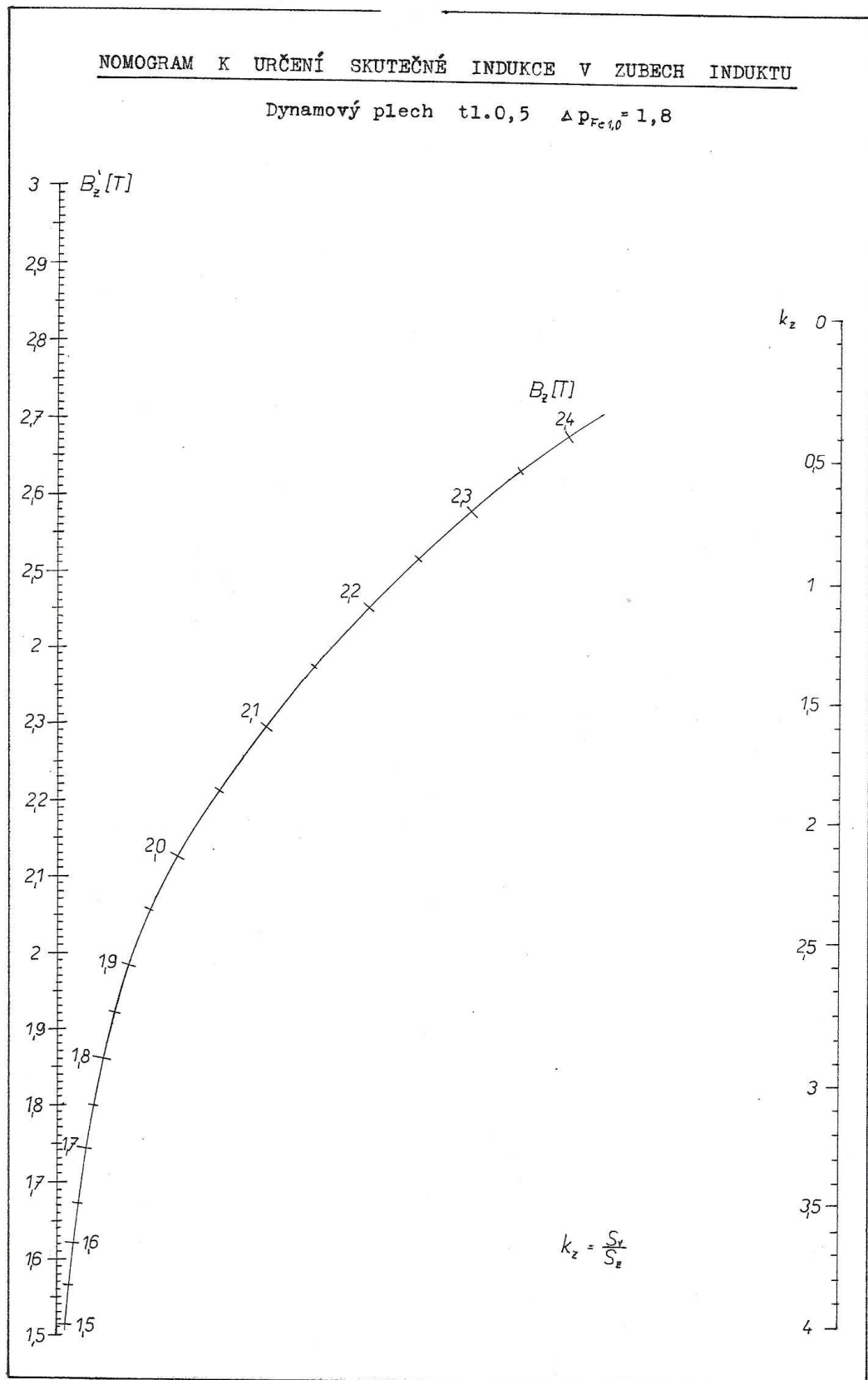
Obrázek 7: Tingleyho schéma znázorňující zapojení vinutí stroje.

Příloha 4:



Obrázek 8: Tabulka pro určení Carterova činitele pro drážkování kotvy stroje

Příloha 5:



Obrázek 9: Charakteristika k určení skutečné indukce v zubech kotvy

Příloha 6:

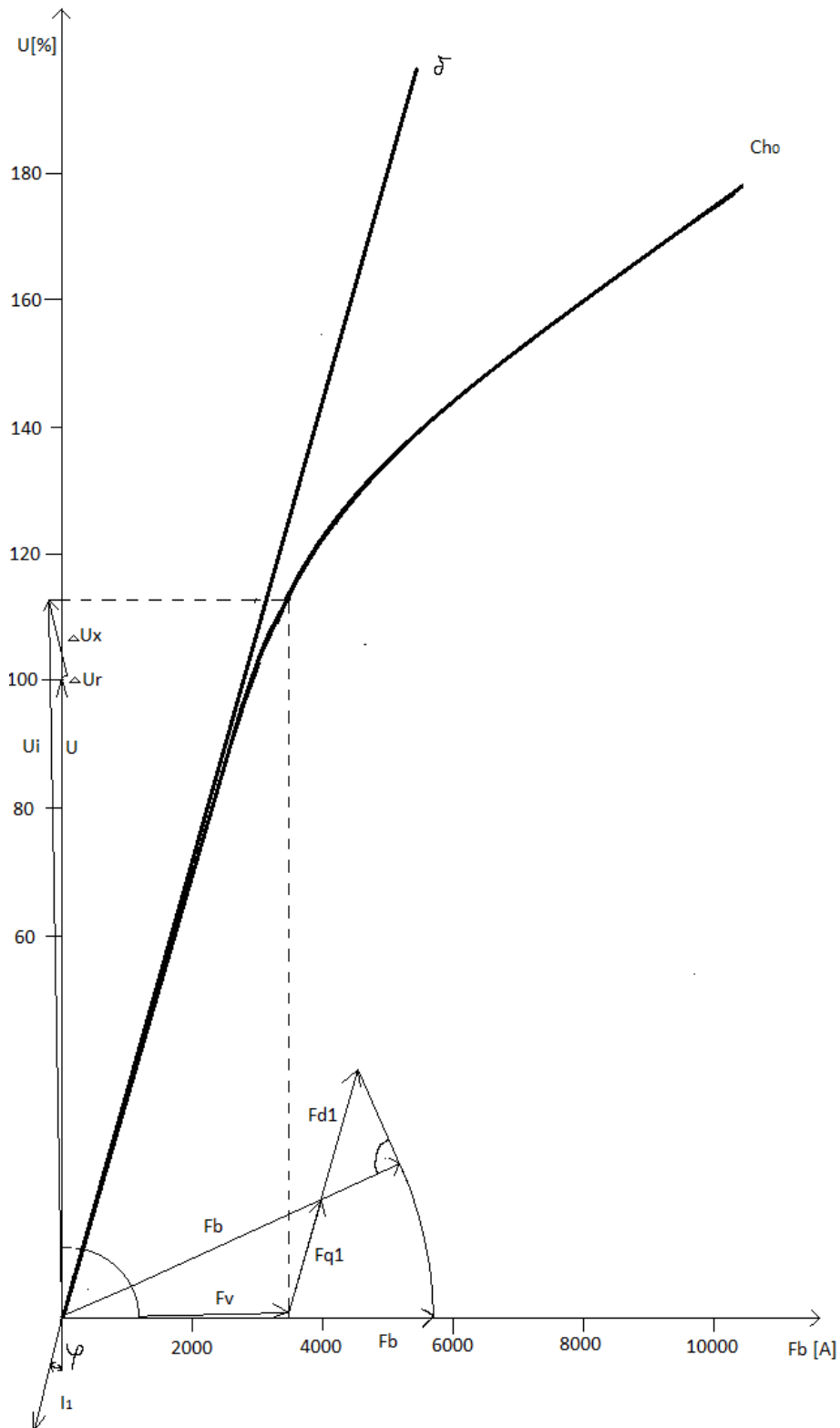
					Kdx	Zdánlivá Bz [T]	Bz skutečná [T]	H v zubu [A/m]	Hstr-střední intenzita [A/m]	
D1	D1= 620	td1= 27,05	z1= 12,65	kz1= 1,23	1,42	B'z1= 1,47	Bz1= 1,46	Hz1= 702		
D2=D1±hd	D2= 586	td2= 25,57	z2= 11,17	kz2= 1,38	1,61	B'z2= 1,57	Bz2= 1,56	Hz2= 1848	2249	76,47
D3=D1±2hd	D3= 552	td3= 24,09	z3= 9,69	kz3= 1,59	1,85	B'z3= 1,7	Bz3= 1,7	Hz3= 5400		
k1	0,4 =1, 2, 3	tdi=πDi/Q	zi=tdi-bd	k1.φ	1,42	B'z1= 0,59	Bz1= 0,58	Hz1= 80	84,3333	2,867
1,61					B'z2= 0,63	Bz2= 0,62	Hz2= 84			
1,85					B'z3= 0,68	Bz3= 0,68	Hz3= 90			
k2	0,5	kzi=tdi/(zi.kFe)-1	B'zi=Bδ.tdi/(zi.kFe)	k2.φ	1,42	B'z1= 0,73	Bz1= 0,73	Hz1= 95	100,3	3,41
1,61					B'z2= 0,79	Bz2= 0,78	Hz2= 100			
1,85					B'z3= 0,85	Bz3= 0,85	Hz3= 106,8			
k3	0,6	(Hz1+4Hz2+H	Fz=Hstr.hd	k3.φ	1,42	B'z1= 0,88	Bz1= 0,88	Hz1= 112,2	122,9	4,179
1,61					B'z2= 0,94	Bz2= 0,94	Hz2= 121,4			
1,85					B'z3= 1,02	Bz3= 1,02	Hz3= 139,6			
k4	0,7			k4.φ	1,42	B'z1= 1,03	Bz1= 1,03	Hz1= 142,4	165,633	5,632
1,61					B'z2= 1,1	Bz2= 1,09	Hz2= 161,6			
1,85					B'z3= 1,19	Bz3= 1,2	Hz3= 205			
k5	0,8			k5.φ	1,42	B'z1= 1,17	Bz1= 1,17	Hz1= 195	252,9	8,599
1,61					B'z2= 1,26	Bz2= 1,25	Hz2= 235,6			
1,85					B'z3= 1,36	Bz3= 1,36	Hz3= 380			
k6	0,9			k6.φ	1,42	B'z1= 1,32	Bz1= 1,32	Hz1= 316,8	577,133	19,62
1,61					B'z2= 1,41	Bz2= 1,4	Hz2= 440			
1,85					B'z3= 1,53	Bz3= 1,53	Hz3= 1386			
k7	1			k7.φ	1,42	B'z1= 1,47	Bz1= 1,46	Hz1= 702	2249	76,47
1,61					B'z2= 1,57	Bz2= 1,56	Hz2= 1848			
1,85					B'z3= 1,7	Bz3= 1,7	Hz3= 5400			
k8	1,1			k8.φ	1,42	B'z1= 1,61	Bz1= 1,61	Hz1= 2912	7832	266,3
1,61					B'z2= 1,73	Bz2= 1,73	Hz2= 7040			
1,85					B'z3= 1,87	Bz3= 1,87	Hz3= 15920			
k9	1,2			k9.φ	1,42	B'z1= 1,76	Bz1= 1,76	Hz1= 8460	14265,3	485
1,61					B'z2= 1,88	Bz2= 1,84	Hz2= 13500			
1,85					B'z3= 2,05	Bz3= 1,94	Hz3= 23132			
k10	1,3			k10.φ	1,42	B'z1= 1,91	Bz1= 1,87	Hz1= 15920	27397,1	931,5
1,61					B'z2= 2,04	Bz2= 1,94	Hz2= 23132			
1,85					B'z3= 2,22	Bz3= 2,1	Hz3= 55935			
k11	1,4			k11.φ	1,42	B'z1= 2,05	Bz1= 1,95	Hz1= 23132	49584,5	1686
1,61					B'z2= 2,2	Bz2= 2,07	Hz2= 49816			
1,85					B'z3= 2,39	Bz3= 2,14	Hz3= 75109			
k12	1,5			k12.φ	1,42	B'z1= 2,2	Bz1= 2,06	Hz1= 46757	71813,7	2442
1,61					B'z2= 2,35	Bz2= 2,13	Hz2= 71080			
1,85					B'z3= 2,56	Bz3= 2,2	Hz3= 99804			
k13	1,6			k13.φ	1,42	B'z1= 2,34	Bz1= 2,15	Hz1= 75109	103266	3511
1,61					B'z2= 2,51	Bz2= 2,2	Hz2= 99804			
1,85					B'z3= 2,73	Bz3= 2,26	Hz3= 145274			
k14	1,7			k14.φ	1,42	B'z1= 2,49	Bz1= 2,21	Hz1= 111442	135321	4601
1,61					B'z2= 2,67	Bz2= 2,24	Hz2= 130858			
1,85					B'z3= 2,9	Bz3= 2,3	Hz3= 177050			
k15	1,8			k15.φ	1,42	B'z1= 2,64	Bz1= 2,25	Hz1= 137330	167787	5705
1,61					B'z2= 2,82	Bz2= 2,29	Hz2= 169106			
1,85					B'z3= 3,07	Bz3= 2,32	Hz3= 192970			
k16	1,9			k16.φ	1,42	B'z1= 2,78	Bz1= 2,3	Hz1= 177050	206237	7012
1,61					B'z2= 2,98	Bz2= 2,34	Hz2= 208890			
1,85					B'z3= 3,24	Bz3= 2,36	Hz3= 224810			

Obrázek 10: Tabulka výpočtu zubové vrstvy kotvy stroje

Příloha 7:

		φ			k1.φ			k2.φ			k3.φ			k4.φ			k5.φ			k6.φ			k7.φ																																																																																																																																																																																																																																																																																																																																																																																																																																																																																																																																																																																																																																																																																																																																																																																																																																																																																																																																																																																																																																																																																																																																																																																																																																																																																																																																																																																																																																																																																																											
		B[T]	H[A/m]	F[A]	B[T]	H[A/m]	F[A]	B[T]	H[A/m]	F[A]	B[T]	H[A/m]	F[A]	B[T]	H[A/m]	F[A]	B[T]	H[A/m]	F[A]	B[T]	H[A/m]	F[A]	B[T]	H[A/m]	F[A]																																																																																																																																																																																																																																																																																																																																																																																																																																																																																																																																																																																																																																																																																																																																																																																																																																																																																																																																																																																																																																																																																																																																																																																																																																																																																																																																																																																																																																																																																																									
Vzduch. Mezera		δ [m]=0,006			0,55	2711,3			0,22	1084,5			0,28	1355,6			0,33	1626,8			0,39	1897,9			0,44	2169			0,50	2440,2			0,55	2711,3																																																																																																																																																																																																																																																																																																																																																																																																																																																																																																																																																																																																																																																																																																																																																																																																																																																																																																																																																																																																																																																																																																																																																																																																																																																																																																																																																																																																																																																																																																
Zuby	Hlava	kz1=1,23	Bz 1	1,47		0,59		0,73		0,88		1,10		1,17		1,26		1,32		1,36		1,41		1,46		1,51		1,56		1,61		1,66		1,71		1,76		1,81		1,86		1,91		1,96		2,01		2,06		2,11		2,16		2,21		2,26		2,31		2,36		2,41		2,46		2,51		2,56		2,61		2,66		2,71		2,76		2,81		2,86		2,91		2,96		3,01		3,06		3,11		3,16		3,21		3,26		3,31		3,36		3,41		3,46		3,51		3,56		3,61		3,66		3,71		3,76		3,81		3,86		3,91		3,96		4,01		4,06		4,11		4,16		4,21		4,26		4,31		4,36		4,41		4,46		4,51		4,56		4,61		4,66		4,71		4,76		4,81		4,86		4,91		4,96		5,01		5,06		5,11		5,16		5,21		5,26		5,31		5,36		5,41		5,46		5,51		5,56		5,61		5,66		5,71		5,76		5,81		5,86		5,91		5,96		6,01		6,06		6,11		6,16		6,21		6,26		6,31		6,36		6,41		6,46		6,51		6,56		6,61		6,66		6,71		6,76		6,81		6,86		6,91		6,96		7,01		7,06		7,11		7,16		7,21		7,26		7,31		7,36		7,41		7,46		7,51		7,56		7,61		7,66		7,71		7,76		7,81		7,86		7,91		7,96		8,01		8,06		8,11		8,16		8,21		8,26		8,31		8,36		8,41		8,46		8,51		8,56		8,61		8,66		8,71		8,76		8,81		8,86		8,91		8,96		9,01		9,06		9,11		9,16		9,21		9,26		9,31		9,36		9,41		9,46		9,51		9,56		9,61		9,66		9,71		9,76		9,81		9,86		9,91		9,96		10,01		10,06		10,11		10,16		10,21		10,26		10,31		10,36		10,41		10,46		10,51		10,56		10,61		10,66		10,71		10,76		10,81		10,86		10,91		10,96		11,01		11,06		11,11		11,16		11,21		11,26		11,31		11,36		11,41		11,46		11,51		11,56		11,61		11,66		11,71		11,76		11,81		11,86		11,91		11,96		12,01		12,06		12,11		12,16		12,21		12,26		12,31		12,36		12,41		12,46		12,51		12,56		12,61		12,66		12,71		12,76		12,81		12,86		12,91		12,96		13,01		13,06		13,11		13,16		13,21		13,26		13,31		13,36		13,41		13,46		13,51		13,56		13,61		13,66		13,71		13,76		13,81		13,86		13,91		13,96		14,01		14,06		14,11		14,16		14,21		14,26		14,31		14,36		14,41		14,46		14,51		14,56		14,61		14,66		14,71		14,76		14,81		14,86		14,91		14,96		15,01		15,06		15,11		15,16		15,21		15,26		15,31		15,36		15,41		15,46		15,51		15,56		15,61		15,66		15,71		15,76		15,81		15,86		15,91		15,96		16,01		16,06		16,11		16,16		16,21		16,26		16,31		16,36		16,41		16,46		16,51		16,56		16,61		16,66		16,71		16,76		16,81		16,86		16,91		16,96		17,01		17,06		17,11		17,16		17,21		17,26		17,31		17,36		17,41		17,46		17,51		17,56		17,61		17,66		17,71		17,76		17,81		17,86		17,91		17,96		18,01		18,06		18,11		18,16		18,21		18,26		18,31		18,36		18,41		18,46		18,51		18,56		18,61		18,66		18,71		18,76		18,81		18,86		18,91		18,96		19,01		19,06		19,11		19,16		19,21		19,26		19,31		19,36		19,41		19,46		19,51		19,56		19,61		19,66		19,71		19,76		19,81		19,86		19,91		19,96		20,01		20,06		20,11		20,16		20,21		20,26		20,31		20,36		20,41		20,46		20,51		20,56		20,61		20,66		20,71		20,76		20,81		20,86		20,91		20,96		21,01		21,06		21,11		21,16		21,21		21,26		21,31		21,36		21,41		21,46		21,51		21,56		21,61		21,66		21,71		21,76		21,81		21,86		21,91		21,96		22,01		22,06		22,11		22,16		22,21		22,26		22,31		22,36		22,41		22,46		22,51		22,56		22,61		22,66		22,71		22,76		22,81		22,86		22,91		22,96		23,01		23,06		23,11		23,16		23,21		23,26		23,31		23,36		23,41		23,46		23,51		23,56		23,61		23,66		23,71		23,76		23,81		23,86		23,91		23,96		24,01		24,06		24,11		24,16		24,21		24,26		24,31		24,36		24,41		24,46		24,51		24,56		24,61		24,66		24,71		24,76		24,81		24,86		24,91		24,96		25,01		25,06		25,11		25,16		25,21		25,26		25,31		25,36		25,41		25,46		25,51		25,56		25,61		25,66		25,71		25,76		25,81		25,86		25,91		25,96		26,01		26,06		26,11		26,16		26,21		26,26		26,31		26,36		26,41		26,46		26,51		26,56		26,61		26,66		26,71		26,76		26,81		26,86		26,91		26,96		27,01		27,06		27,11		27,16		27,21		27,26		27,31		27,36		27,41		27,46		27,51		27,56		27,61		27,66		27,71		27,76		27,81		27,86		27,91		27,96		28,01		28,06		28,11		28,16		28,21		28,26		28,31		28,36		28,41		28,46		28,51		28,56		28,61		28,66		28,71		28,76		28,81		28,86		28,91		28,96		29,01		29,06		29,11		29,16		29,21		29,26		29,31		29,36		29,41		29,46		29,51		29,56		29,61		29,66		29,71		29,76		29,81		29,86		29,91		29,96		30,01		30,06		30,11		30,16		30,21		30,26		30,31		30,36		30,41		30,46		30,51		30,56		30,61		30,66		30,71		30,76		30,81		30,86		30,91		30,96		31,01		31,06		31,11		31,16		31,21		31,26		31,31		31,36		31,41		31,46		31,51		31,56		31,61		31,66		31,71		31,76		31,81		31,86		31,91		31,96		32,01		32,06		32,11		32,16		32,21		32,26		32,31		32,36		32,41		32,46		32,51		32,56		32,61		32,66		32,71		32,76		32,81		32,86		32,91		32,96		33,01		33,06		33,11		33,16		33,21		33,26		33,31		33,36		33,41		33,46		33,51		33,56		33,61		33,66		33,71		33,76		33,81		33,86		33,91		33,96		34,01		34,06		34,11		34,16		34,21		34,26		34,31		34,36		34,41		34,46		34,51		34,56		34,61		34,66		34,71		34,76		34,81		34,86		34,91		34,96		35,01		35,06		35,11		35,16		35,21		35,26		35,31		35,36		35,41		35,46		35,51		35,56		35,61		35,66		35,71		35,76		35,81		35,86		35,91		35,96		36,01		36,06		36,11		36,16		36,21		36,26		36,31		36,36		36,41		36,46		36,51		36,56		36,61		36,66		36,71		36,76		36,81		36,86		36,91		36,96		37,01		37,06		37,11		37,16		37,21		37,26		37,31		37,36		37,41		37,46		37,51		37,56		37,61		37,66		37,71

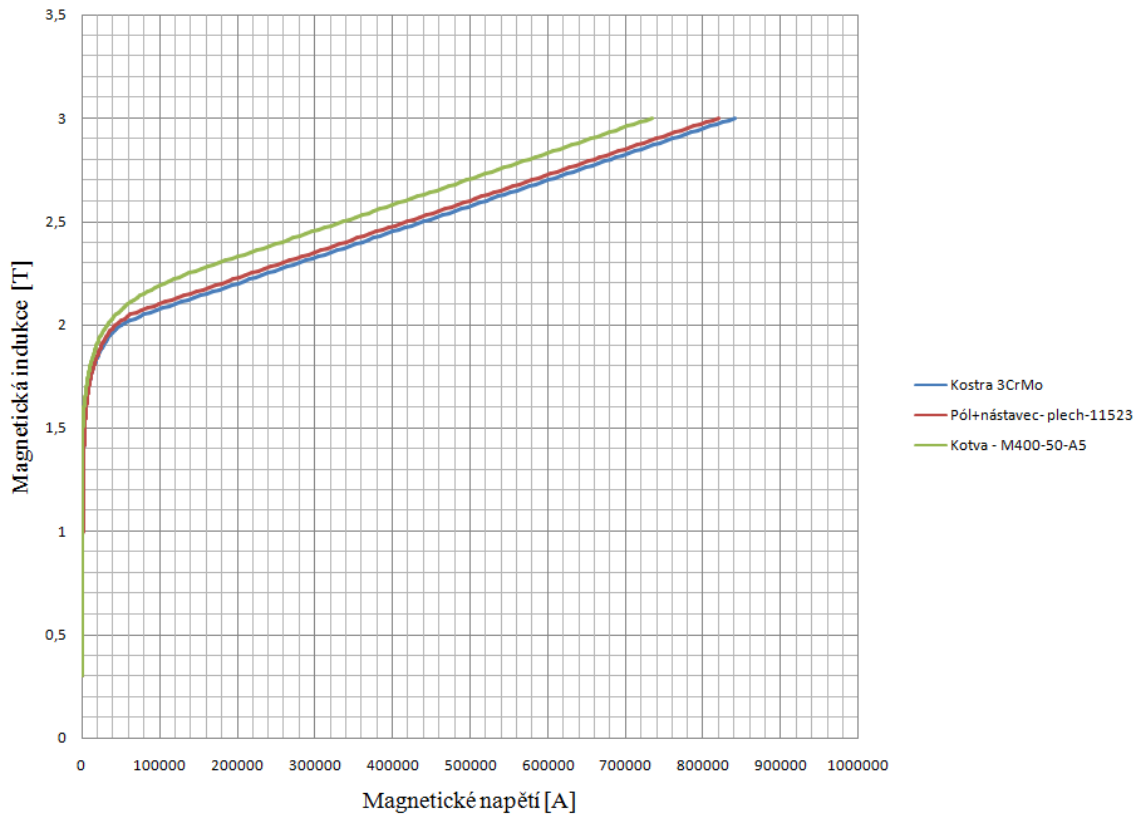
Příloha 8:



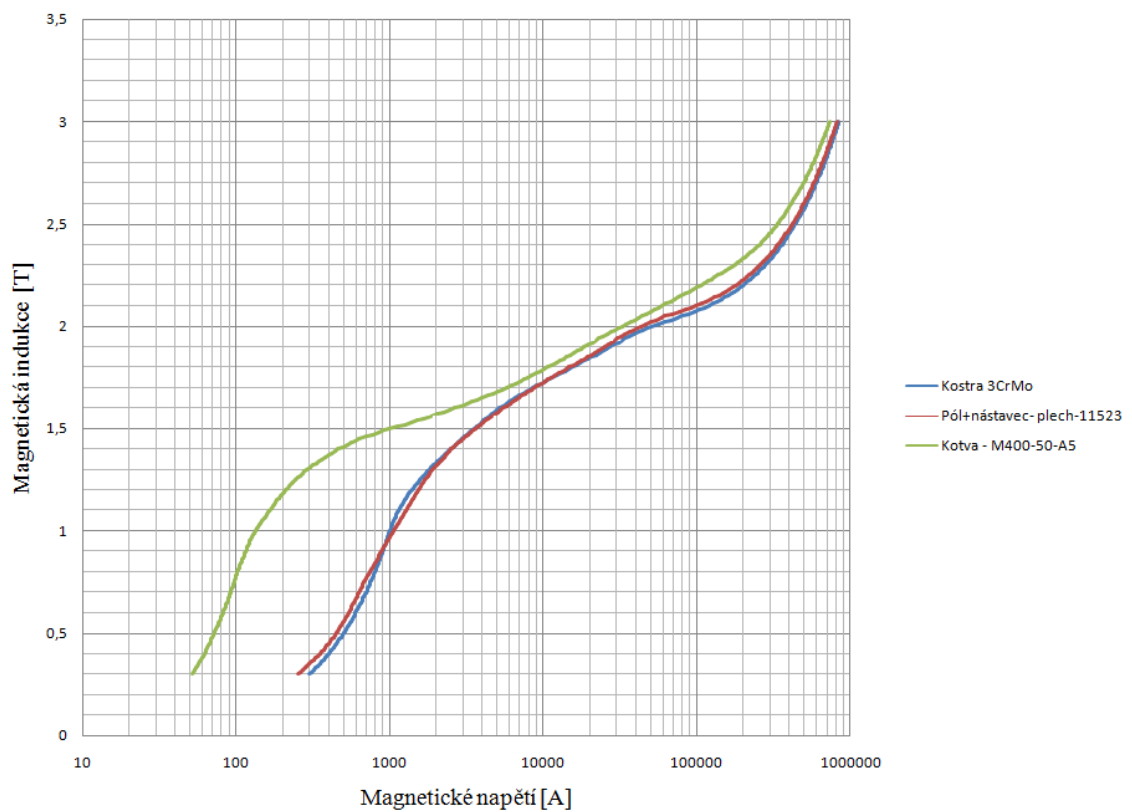
Obrázek 12: Charakteristika naprázdno bezkartáčového budiče a grafické určení F_b

Příloha 9:

Magnetizační charakteristiky materiálů budiče



Magnetizační charakteristiky materiálů budiče



Obrázek 13: Magnetizační charakteristiky materiálů budiče

Příloha 12:



ISOVAL[®] TM

ISOVAL[®] TM is according to the following international standards:
 IEC 60893 EP GC 203, EP GC 308
 NEMA LI 1 G 11

Composition

ISOVAL[®] TM is prepared from glass fabric impregnated with the well known ISOVAL[®] epoxy system. It gives good thermal endurance at elevated temperatures, a very good chemical resistance and a limiting temperature of more than 180°C.

Application

ISOVAL[®] TM is especially used in those areas where good machinability is required. Due to its fine glass fabric ISOVAL[®] TM can also be more easily machined than other materials.

Availability

Thickness:	0,2 - 145 mm
Tolerances:	acc. IEC 60893
Sheet size:	1300 +30/-0 mm x 1040 +30/-0 mm
	2140 +30/-0 mm x 1040 +30/-0 mm (up to 100 mm thickness)
	1040 +30/-0 mm x 1040 +30/-0 mm (up to 100 mm thickness)
	2800 +30/-0 mm x 1220 +30/-0 mm (up to 80 mm thickness)
	1400 ±10 mm x 1220 +30/-0 mm (up to 80 mm thickness)
Colour:	slight green

Other sizes on request

Machined parts and cuttings are available on request.

All information given here is based on currently available facts and on the results of experiments performed with all due care in our laboratories. It does not in any way reduce the responsibility of the user for carrying out further tests in order to ensure successful processing and use in specific applications.

Obrázek 16: Katalogový list materiálu Isoval TM

Příloha 13:



Technical Data

Values in the table are mean values of our production. Values according to the standards are guaranteed.

Properties	Test method	Unit	Value
Density	ISO 1183/A	g/cm ³	approx. 2,0
Flexural strength at 23°C / 120 °C / 150°C	ISO 178	MPa	400 / 280 / 200
Flexural modulus of elasticity	ISO 178	MPa	approx. 18000
Impact strength (Charpy) parallel to laminations - with notch - without notch	ISO 179/3 C	kJ/m ²	50 100
Tensile strength	ISO 527	MPa	220
Compressive strength perpendicular to laminations	ISO 604	MPa	500
Compressive strength parallel to laminations	ISO 604	MPa	150
Insulation resistance after immersion in water	IEC 167	Ohm	5.10 ¹⁰
Electrical strength at 90°C in oil perpendicular to laminations (thickness 3 mm)	IEC 243	KV/mm	13
Breakdown voltage at 90°C in oil parallel to laminations	IEC 243	kV	40
Permittivity at 50 Hz and 1 MHz	IEC 250	-	5.5
Comparative tracking index	IEC 112	-	CTI 180
Thermal endurance	IEC 216	T.I.	180
Water absorption (thickness 10 mm)	ISO 62/1	mg	30

All information given here is based on currently available facts and on the results of experiments performed with all due care in our laboratories. It does not in any way reduce the responsibility of the user for carrying out further tests in order to ensure successful processing and use in specific applications.

Obrázek 17: Katalogový list materiálu Isoval TM

Příloha 14:



insulation&conductors

Tapes – Banding
Hyperten 2000HP

GENERAL INFORMATION

Hyperten 2000HP resin impregnated uni-directional glass banding tape is rated for Class H (180°C) operation.

APPLICATIONS

Hyperten 2000HP is designed for banding high speed armatures and rotors. When correctly applied it will form a high tensile insulation band to retain the windings and resist displacement by centrifugal forces. Hyperten 2000HP displays good retention of mechanical strength at elevated temperatures and is particularly suitable for the banding the armatures of railway traction motors. Hyperten 2000HP shows high flexibility, is conformable and can therefore be employed to brace the endwindings of form wound rotating machines and for the bracing of transformer coils.

CONSTRUCTION

Hyperten 2000HP is manufactured using treated uni-directional E glass fibre yarns impregnated with a specially formulated resin/ hardener system. The resin employed promotes high inter yarn adhesion and is cured to a 'B' stage during manufacture of the tape. When fully cured Hyperten 2000HP exhibits high mechanical strength, good resistance to moisture and will operate at Class H (180°C) temperatures.

SAFETY AND HANDLING

Attention is drawn to the material safety data sheets which are available for this product. The product covered by this data sheet must not be put into use without a study of the appropriate safety precautions.

TYPICAL VALUES

Product Designation	Resin Type	Resin Content (%)	Glass Yarn	Temperature Classification	Tolerance on width [mm]	Yarn Ends per [mm/Width]	Thickness [mm]	Uncured Tensile Strength @ 20°C [N/mm]
Hyperten 2000HP	Modified Epoxy Novalac	27 +/- 3	"E" type continuous filament	Class h (180°C)	-0.0 / +3.0 mm	3	0.32 +/- 0.03	180

Shelf Life	Months
@ 10°C	16
@ 15°C	12
@ 20°C	8
@ 30°C	4

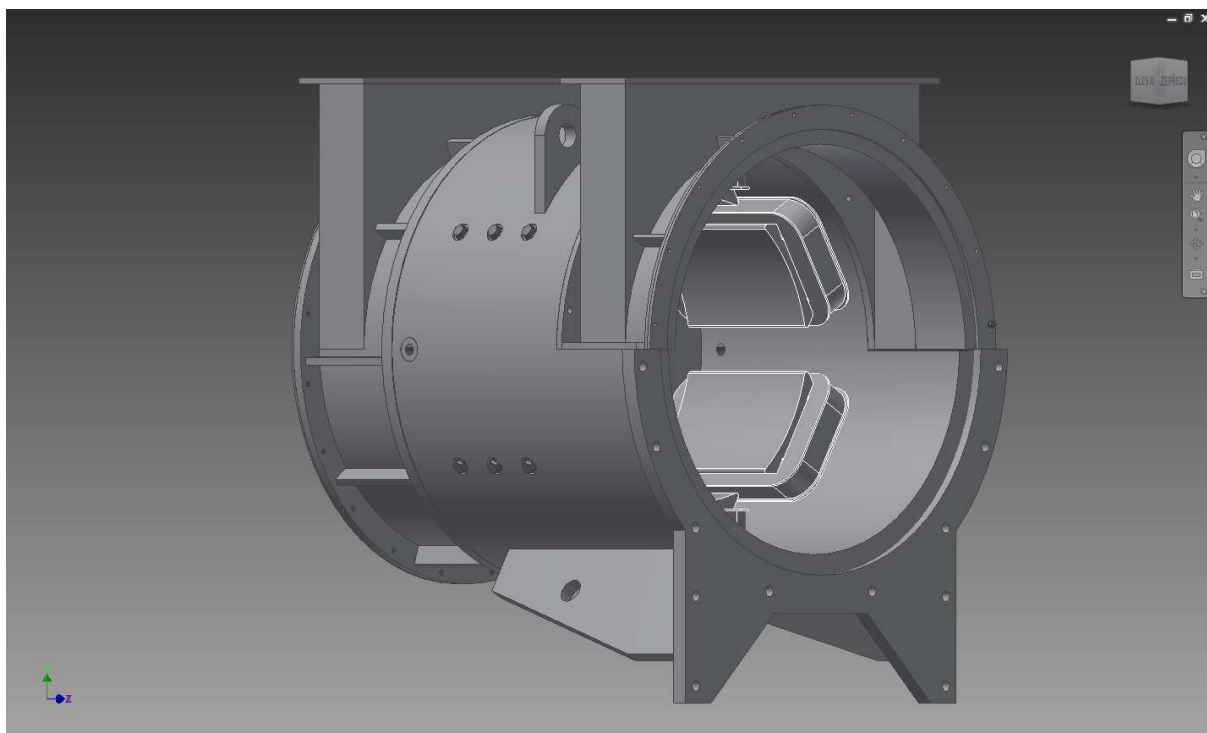
070110_Tapes_Non_Adhesive_Hyperten_2000_0708v1

1300 646 247 www.oba-ic.com.au ABN 89 092 191 930	VIC t.03 8791 8600 f.03 8791 8610	NSW t.02 9757 1188 f.02 9757 1313	QLD t.07 3276 1414 f.07 3276 1323	SA t.08 8293 8100 f.08 8293 8311	WA t.08 9458 7211 f.08 9458 7299	TAS t.03 6423 1176 f.03 6424 9393
---	--	--	--	---	---	--

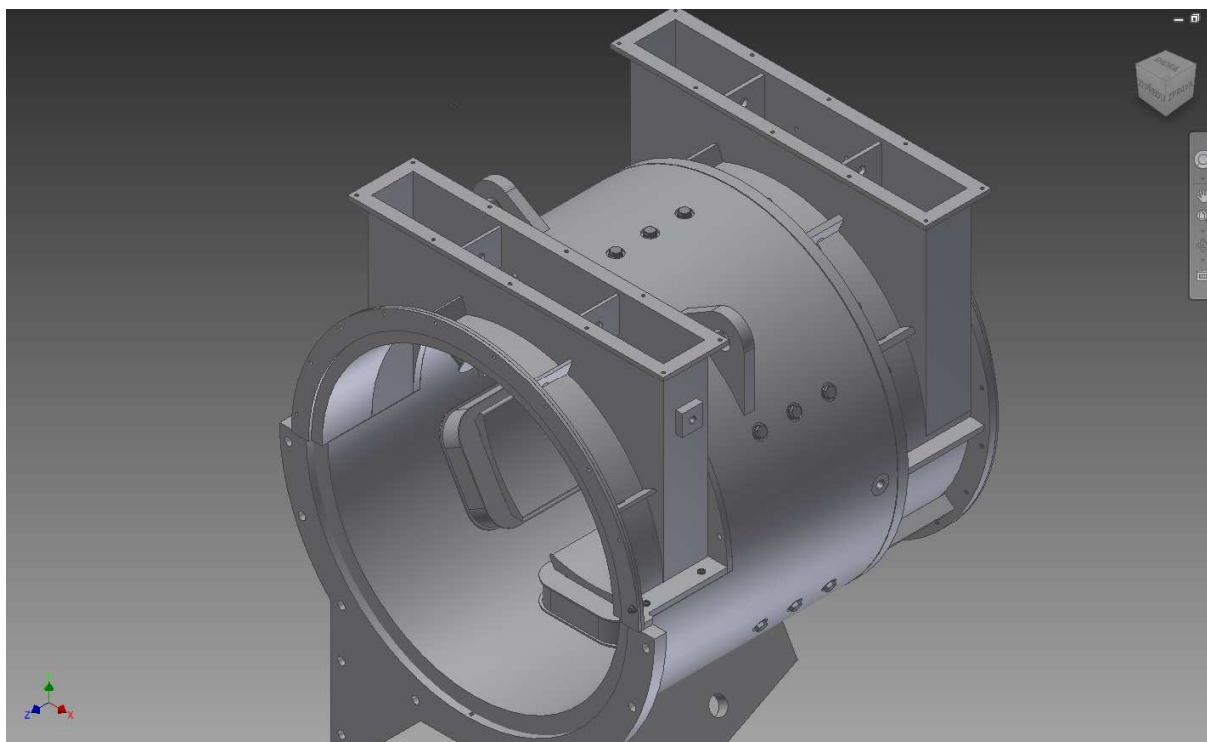
The information contained in this sheet is correct at the time of printing and may be subject to change

Obrázek 18: Katalogový list materiálu bandáže Hyperten 2000HP

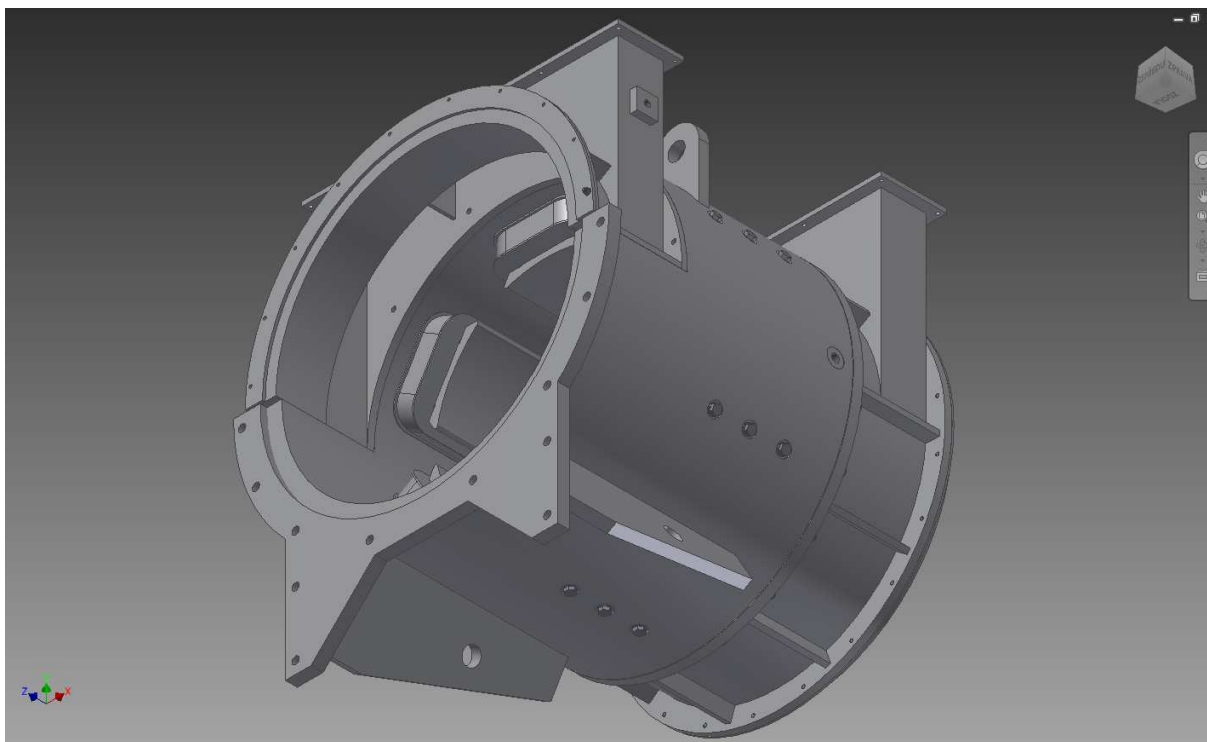
Příloha 15:



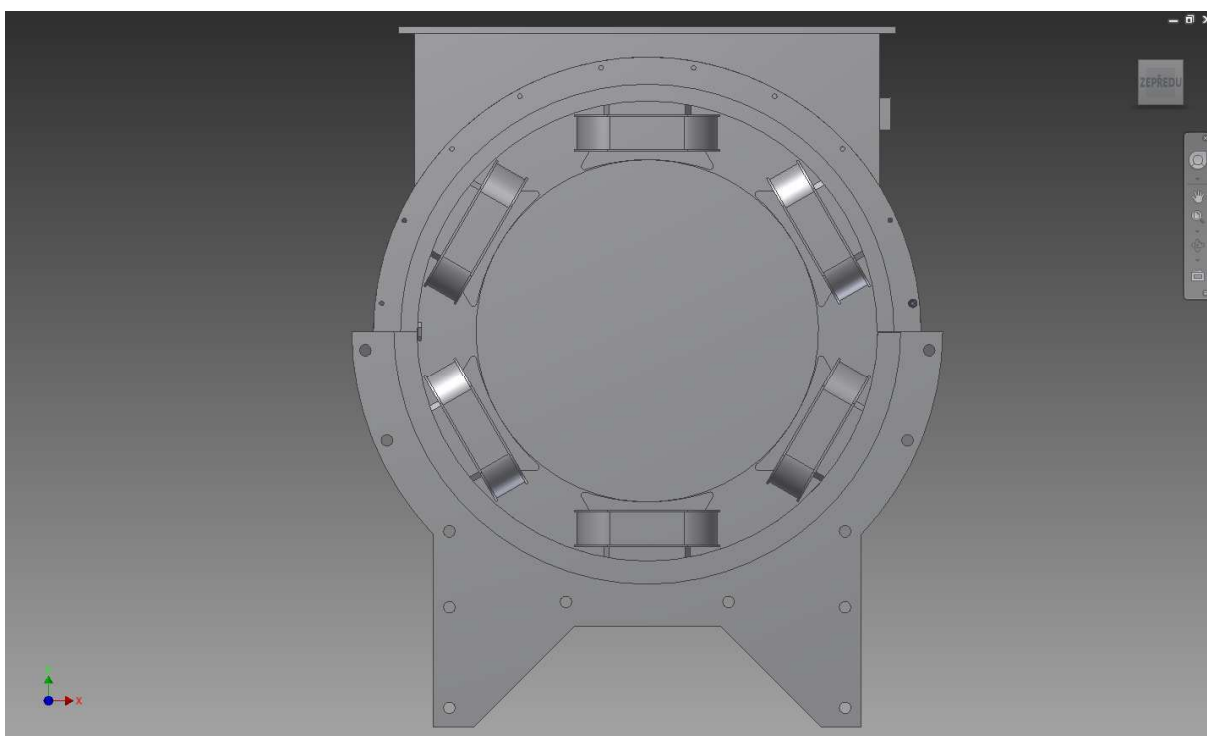
Obrázek 19: Pohled na namodelovaný stator stroje



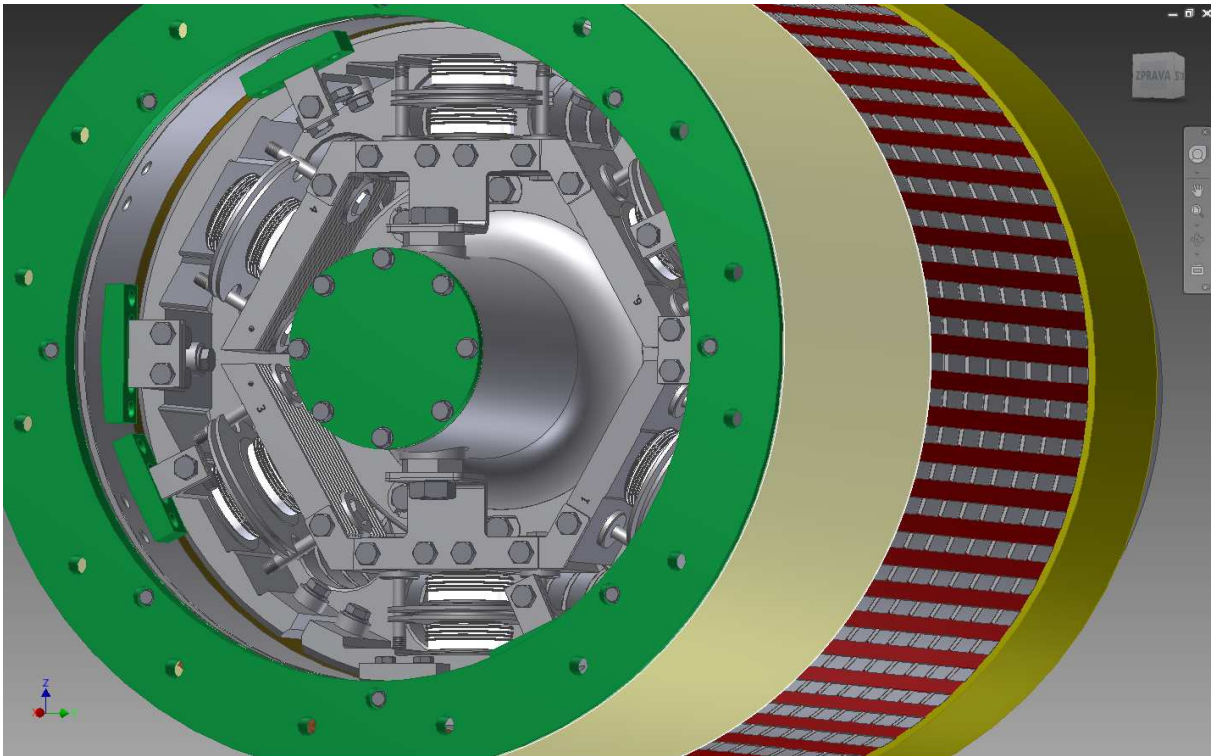
Obrázek 20: Horní pohled na stator stroje s detailem na ventilační příruby



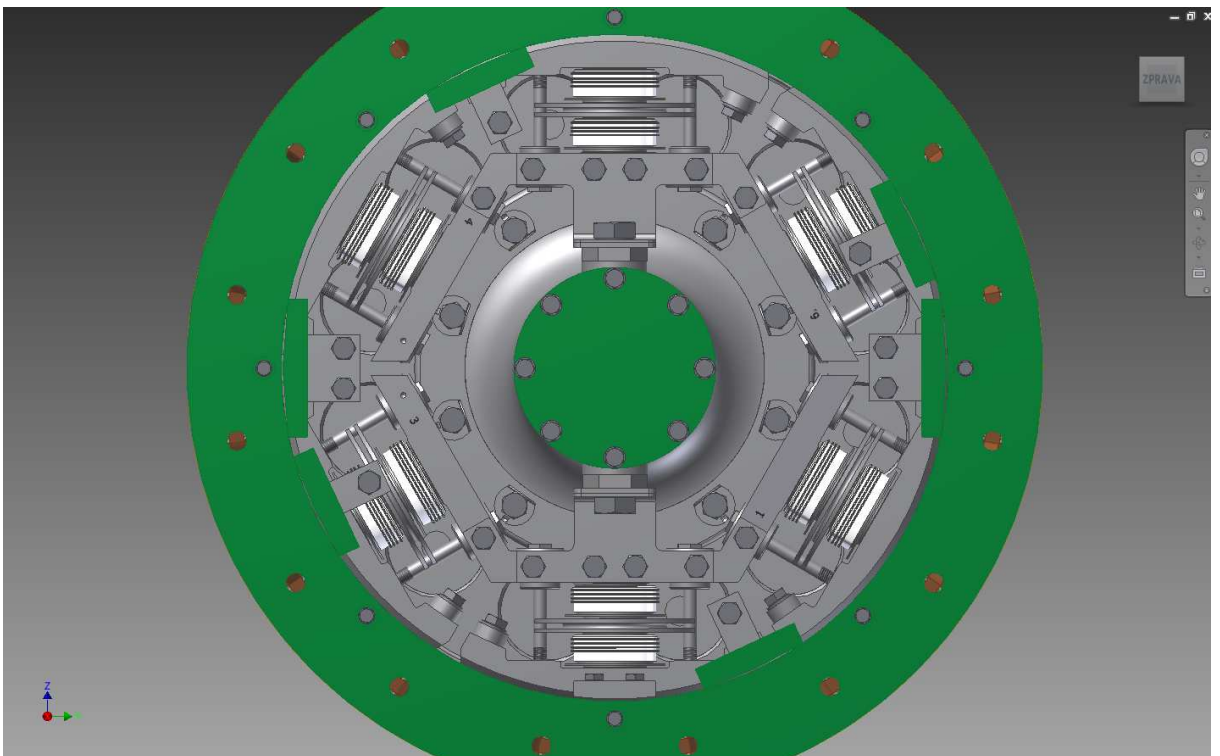
Obrázek 21: Pohled na stator stroje zespodu



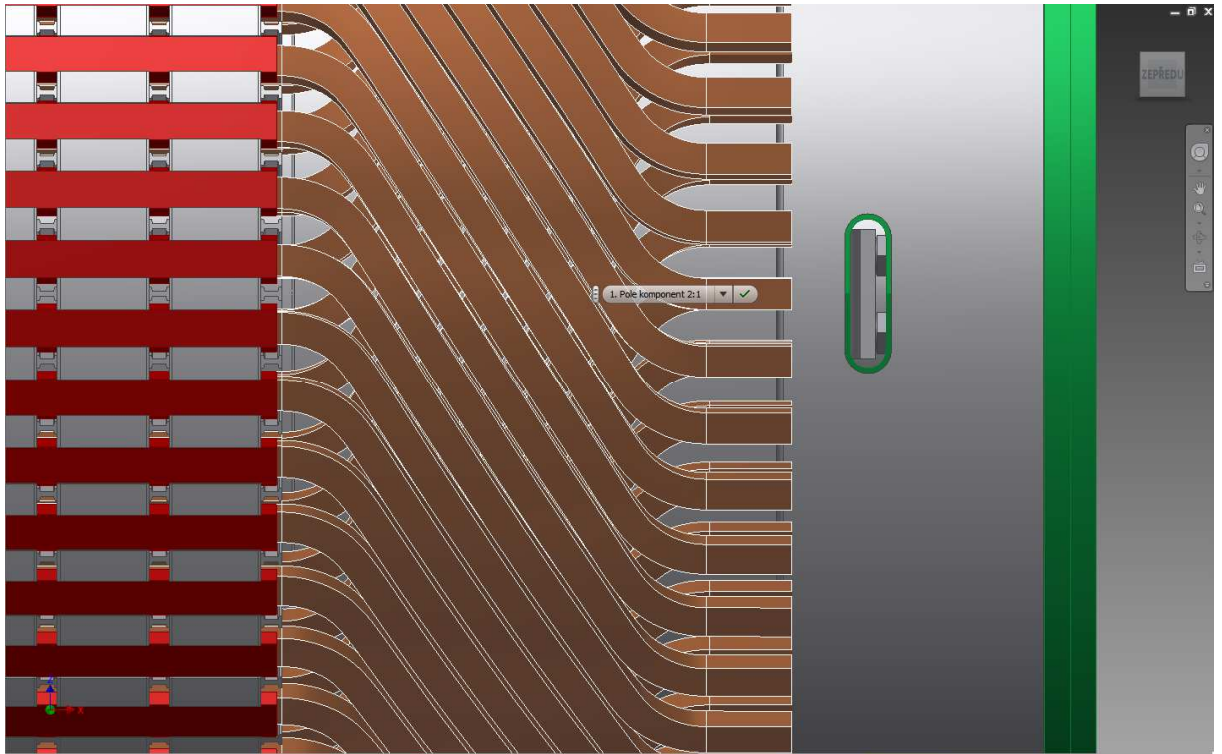
Obrázek 22: Pohled na stator budiče z pohledu od osy rotoru turbogenerátoru



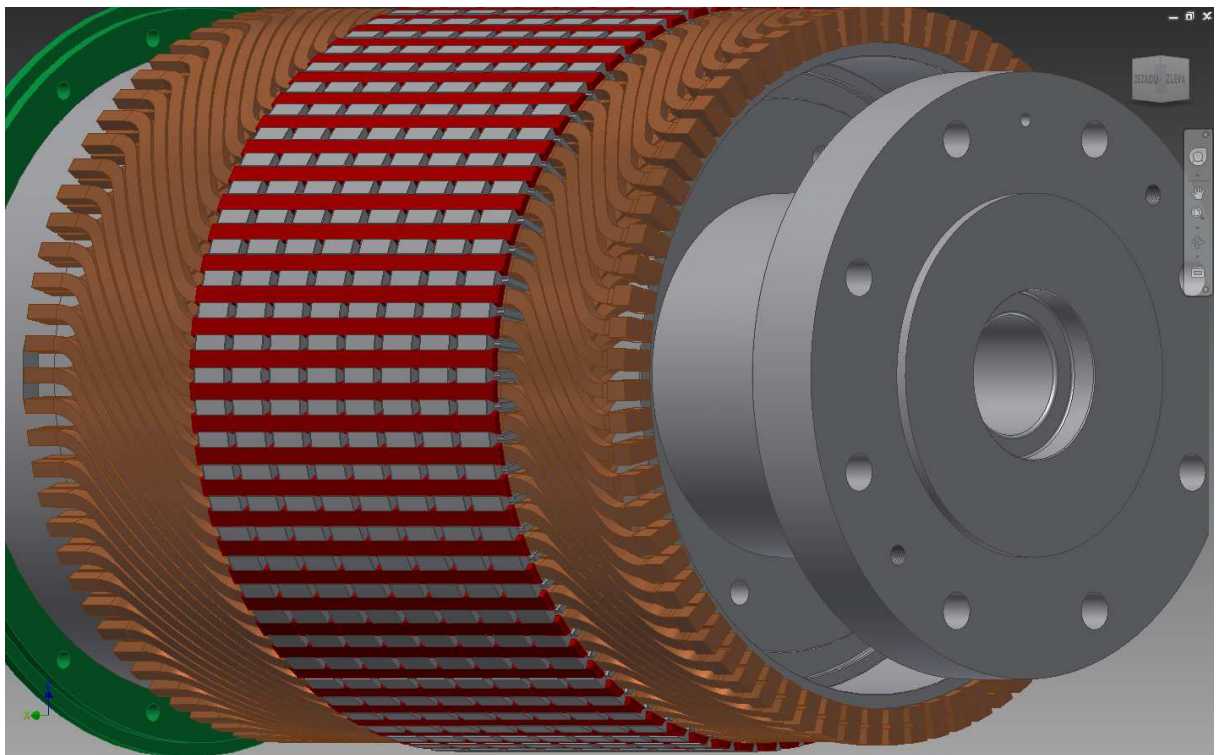
Obrázek 23: Pohled na rotor stroje, detail usměrňovače



Obrázek 24: Pohled na uspořádání diodového usměrňovače stroje



Obrázek 25: Pohled na rotorové vinutí budiče



Obrázek 26: Pohled na rotor budiče-osový vývrt pro budící přívody do turbogenerátoru